IDENTIFICATION D'UNE ÉVENTUELLE MICROTECHNOLOGIE ET DE STRUCTURES ARTIFICIELLES DANS LE VACCIN DE PFIZER PAR MISCROSCOPIE OPTIQUE

ANALYSE PAR MICROSCOPIE OPTIQUE ET RAPPORT PHOTOGRAPHIQUE

Séville. Espagne. 14 janvier 2022

Ricardo Delgado Martín

Diplômé en statistiques. Spécialité en biostatistique

Université de Séville

OBJECTIF DE LA RECHERCHE

L'objectif de ce travail est l'identification de motifs artificiels et de structures micro-technologiques qui pourraient être contenues dans le vaccin commercial Comirnaty Pfizer.

À cette fin, plusieurs objets, visibles au microscope optique, ont été photographiés et comparés avec des articles de la littérature scientifique pour les besoins de cette analyse.

En outre, on a tenté d'identifier une grande variété d'objets compatibles avec les structures de type graphène, compte tenu des caractéristiques et des particularités de ce matériau, telles que ses plis, ses reliefs, sa tension superficielle, etc.

Cette recherche est une approche, du point de vue de la microscopie optique, de la caractérisation de ces structures avec les limites de la méthodologie et des moyens utilisés.

Les microphotographies ont été obtenues avec une qualité de grossissement allant de 200X à 1400X. Une plus grande représentativité des échantillons à analyser avec la technique optique est nécessaire pour pouvoir tirer des conclusions ou des généralisations sur le sujet étudié.

Toutefois, ce rapport constitue un élément à prendre en compte et devrait nécessairement être complété et élargi par des scientifiques et des laboratoires indépendants afin de clarifier ce produit cible administré à la Société Civile de manière globale et simultanée.

INTRODUCTION

La constitution de nano-réseaux intra-corporels, ou prédisposés à coexister à l'intérieur des êtres vivants, par le biais de la microtechnologie et de la nanotechnologie, constitue un objectif scientifique depuis plusieurs années - comme en témoigne la littérature scientifique dans ce champ disciplinaire.

La nanotechnologie fournit un nouvel ensemble d'outils à la communauté des ingénieurs pour concevoir des composants à l'échelle nanométrique dotés de fonctionnalités sans précédent. L'intégration de plusieurs nanocomposants, en une seule entité, va permettre le développement de nanomachines avancées.

Les nanoréseaux, c'est-à-dire les réseaux de nanomachines, vont permettre une multitude d'applications dans les domaines biomédical, environnemental, industriel et militaire.

Des dizaines d'articles scientifiques publiés jettent les bases de la communication électromagnétique par le graphène dans les nano- et micro-réseaux, y compris les micro-réseaux intra-corporels.

Voir l'étude, de 2015, intitulée "Design of Wireless Nanosensor Networks for Intrabody Application". [246]

Les résultats obtenus indiquent que la bande térahertz (0,1-10 THz) est la gamme de fréquences de fonctionnement optimale pour les nouvelles nanoantennes.

D'autre part, le graphène est un matériau qui a la capacité d'absorber le rayonnement micro-ondes des antennes téléphoniques dans la bande des GHz et d'amplifier son signal de 3 longueurs d'onde à l'échelle du Thz.

Voir le document de la Commission Européenne intitulé "Le graphène impulse les signaux gigahertz dans le domaine du térahertz". [247]

Depuis des années, une fréquence de coupure optimale, pour les transistors en graphène, a été atteinte à exactement 26 GHz, la plus haute fréquence rapportée en utilisant ce matériau.

Voir l'article intitulé "26-GHz Graphene Transistor". [248]

Nous savons également que notre gouvernement (Espagnol) attend l'approbation de l'appel d'offres, pour la nouvelle technologie 5G, pour la nouvelle bande commerciale, exactement à 26 GHz.

Au vu des résultats obtenus dans cette recherche et du travail bien connu du Dr. Campra "Rapport technique sur la détection du graphène dans les vaccins covidés par spectroscopie micro-Raman" [249] où **la présence de graphène dans des échantillons obtenus à partir de flacons de Pfizer, Astrazeneca, Moderna et Janssen est, sans équivoque, concluante**, il est possible que ce matériau non déclaré dans les flacons soit la base de la mise en œuvre de nano- et micro-réseaux intracorporels, dans la population mondiale, en utilisant la situation actuelle comme prétexte.

Nous avons également mentionné l'effet multiplicateur du graphène induit par le rayonnement des antennes de téléphones portables au-delà du rayonnement Cherenkov.

Voir l'étude, de 2017, intitulée "Cherenkov terahertz radiation from graphene surface plasmon polaritons excited by an electron beam". [250]

La dernière partie, et la conclusion, de cette recherche soulignent que, sur la base de ces preuves et de la toxicité radiodépendante de ce matériau, la maladie dite "COVID19" est un syndrome d'irradiation aiguë renforcé par l'action de la toxine même qui est introduite dans les "vaccins", un effet collatéral de cette opération nano et microtechnique à des fins inconnues de la société et en accord avec le financement du Graphene Flagship ces dernières années.

Dans cet article scientifique, publié dans PubMed, les points communs entre la maladie "COVID19" et les lésions dues aux radiations sont énumérés. Cela qui explique que le véritable agent étiologique, ou causal, de la maladie n'est pas d'origine biologique et trouve son explication dans ce composé chimique toxique: le graphène et ses dérivés.

Voir l'étude, de janvier 2021, intitulée "Commonalities Between COVID-19 and Radiation Injury". [251]

METODOLOGÍA UTILIZADA

Equipo de microscopia óptica HAXON AQUILES II y Cámara Haxon H-Aptina 5.0 USB 2.0

Características:

- MICROSCOPIO HAXON AQUILES I Módelo A-PTR203iH TRINOCULAR para PETROGRAFÍA de Iluminación REFLEJADA y TRANSMITIDA.

- Cabezal Trinocular Tipo Siedentopf Para POLARIZACIÓN (Libre de Tension y Polarizado)
- Multidireccional con Corrección INFINITO, Dispone de Regulación Interpupilar y de Dioptrías.
- Distribución de Luz del Cabezal Fija 80/20 , 80% de la Luz a los Oculares y 20% de la Luz a la Cámara.
- Adaptador 0.5X y 1X para la Cámara con Interfaz de Rosca C-Mount Standar.
- Cámara APTINA 5.0 Megapixels USB 2.0 con Sensor APTINA MT9P001 de Alto Rendimiento con Completo Menú de Configuración de Parametros y compatible con Sistema Operativo Windows.
- Cámara USB2.0 Dedicada. Resolución Máxima 5.0 Megapixels 2592H x 1944V. Tamaño del pixel 2,2x2,2 micrones.
- Alto ratio de frames por segundo hasta 15 fps a máxima Resolucion.
- Oculares Metálicos de Campo Ancho y Alto Relieve de Ojos de 10X/22mm corregidos a Plano de 30mm de Montura.
- Ocular Auxiliar 10X/20mm Reticulado en Cruz para Mediciones de 30mm de Montura.
- Revolver Cuadruple Con Sistema de Centrado para PETROGRAFÍA, sin cojinetes y con preciso marcado de posicionamiento.

- Objetivos Infinitos Planos Acromaticos de Alto Contraste IPCS (Infinity PLAN Correction System) de Larga Distancia de Trabajo LWD (Long Work Distance).
- Para Metalurgia Libres de Tensión para POLARIZACIÓN, RMS y DIN45 de 5X, 10X, 20X y 50X.
- MÓDULO PETROGRÁFICO con Modulo de Polarizacion con Lente de Bertrand.
- Analizador Regulable y Slides de Compensación de 1/4 lambda, lambda completa y cuña de cuarzo
- Stage Rotativo 360º de 140mm para polarización con Pinzas Porta-Objeto.
- Condensador Abbe 1.25 n.a. Especial para Polarizacion con Polarizador Regulable, regulable en altura mediante sistema de cremallera, dispone de diafragma.
- Módulo Puente METALURGICO para Iluminación REFLEJADA con POLARIZADOR.
- Módulo Bloque Portalámparas con Lámpara Halógena de 50W con fuente de alimentación externa de 50W analógica.
- Sistema de Enfoque Macro con Regulación de Tensión y de Parada de Altura para evitar choques con los Objetivos.
- Sistema de Enfoque Micro Mediante Coronas y Piñones con giro Infinito y una precisión de 2 micras por division, alcanzando el máximo estandarizado para laboratorio.
- Iluminador de Kohler con Diafragma y Lentes de Vidrio Frotado con Sistema de Centrado Regulable.
- Dispositivo de Iluminación Halógeno de 30W interno de Alta Potencia con regulación de intensidad e interruptor de seguridad.

DESCRIPTION ET TRAITEMENT DES ÉCHANTILLONS ANALYSÉS

Trois flacons de Comirnaty Pfizer ont été analysés à l'aide des techniques décrites dans l'introduction et sont présentés sur la photographie ci-jointe.

Les échantillons ont été obtenus **à partir de flacons scellés de vaccins à ARNm Comirnat et Pfizer COVID19.** Tous les flacons ont été scellés au moment du traitement.

Les échantillons ont été extraits des flacons respectifs à l'aide de micro-seringues et d'aiguilles stériles neuves en déposant différentes aliquotes de chaque flacon d'environ 10ul sur la lame.

En première approximation, les échantillons analysés semblent s'écouler dans une suspension ou un hydrogel qui maintient l'écoulement et le caractère aqueux des composants.

En fonction de la tension superficielle de la suspension, certains objets de qualités différentes sont visibles dans différents plans ou reliefs des différents échantillons analysés.

Tout au long de la présente enquête, les images obtenues ont subi une évolution observable dans l'analyse optique, en fonction du temps écoulé entre leur exposition sur la lame et leur évaporation complète dans un environnement d’altération.

Après de longs intervalles d'observation au microscope optique, en utilisant différents filtres lumineux et différentes qualités de grossissement, des objets compatibles avec l'apparence du graphène (annexe 1) ont été observés dans différents plans de l'échantillon.

En outre, certains objets d'aspect quadrangulaire, et s'auto-assemblant en zig-zag (annexe 2), observés lors de l'enquête, en temps réel, sont visibles.

Cependant, après l'évaporation quasi-totale des échantillons, cette évolution donne lieu à des structures plus complexes rappelant les motifs artificiels typiques de la technologie des micro-réseaux intra-corporels, comme le rapporte la littérature scientifique dans diverses publications (annexe 3).

Note : Afin d'éviter tout type de contamination qui pourrait influencer le résultat final de la recherche, les échantillons ont été conservés dans des récipients hermétiques pendant tout le processus de recherche et les raisons d'hygiène les plus strictes ont été maintenues dans leur traitement, de leur observation à leur stockage et leur garde.

ANNEXE 1

IDENTIFICATION DES OBJETS COMPATIBLES AVEC LE GRAPHÈNE DANS L'ÉCHANTILLON

Un rapport photographique microscopique de certains des objets de type graphène obtenus à partir des différents échantillons est présenté ci-dessous. (Photos 3 - 16)

Il convient de noter le degré de similitude avec les images obtenues par le Dr. Campra Madrid dans son “Détection d'oxyde de graphène en suspension aqueuse, étude observationnelle en microscopie optique et électronique. Rapport intermédiaire”. (Dr. Campra, 2021 juin, photos 1 et 2). [252]

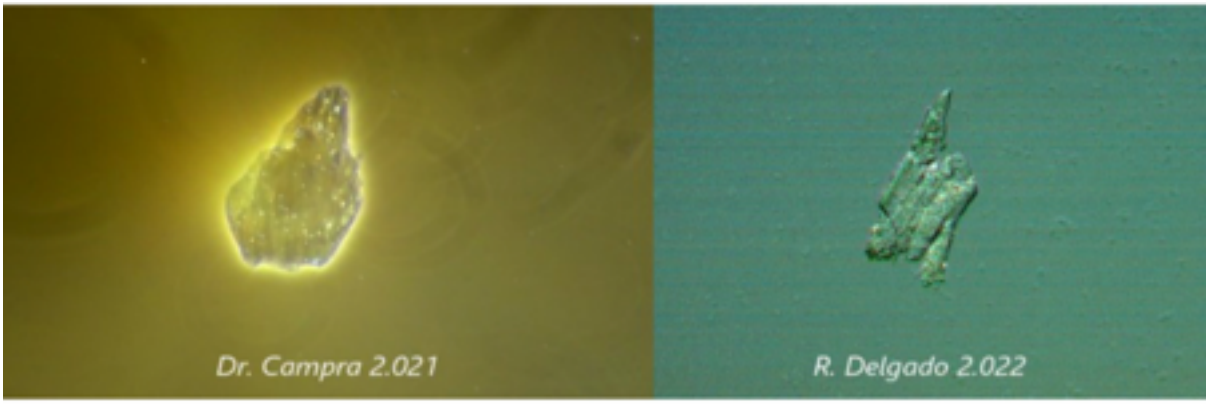

Fotografia 1

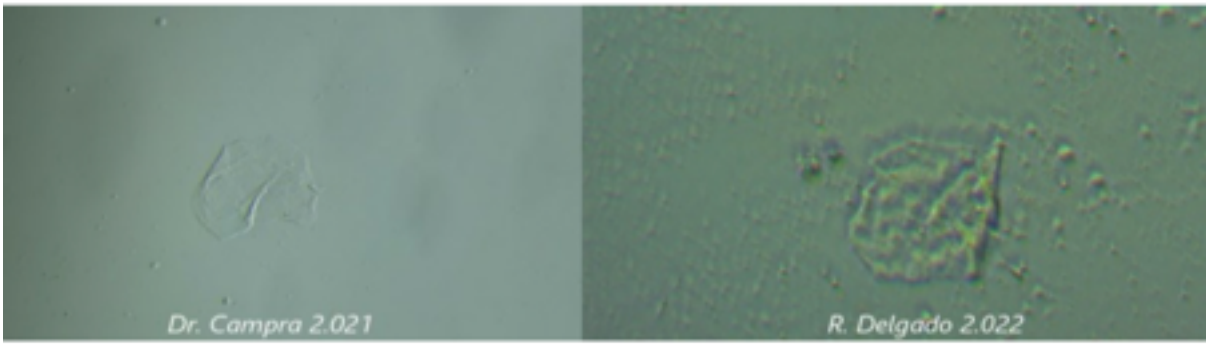

Fotografia 2

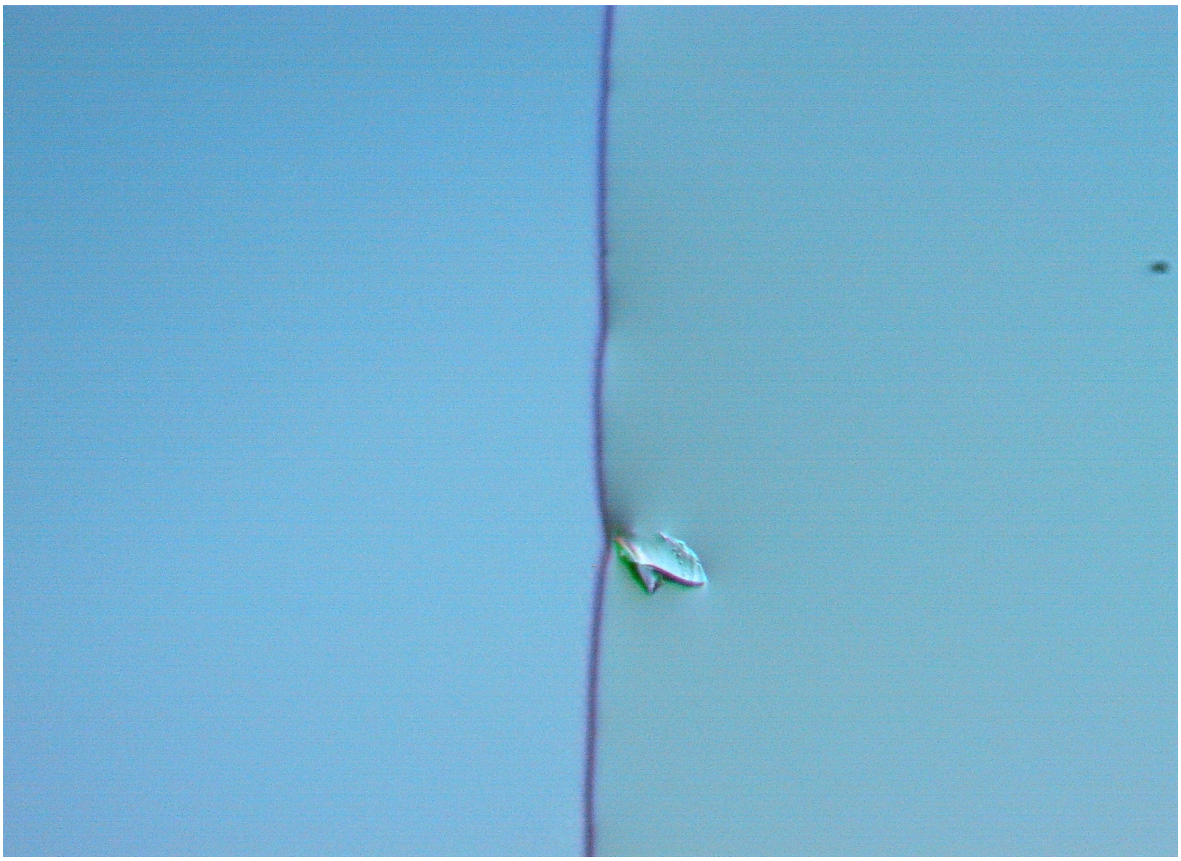

R. Delgado 2.022 (Fotografía 3)

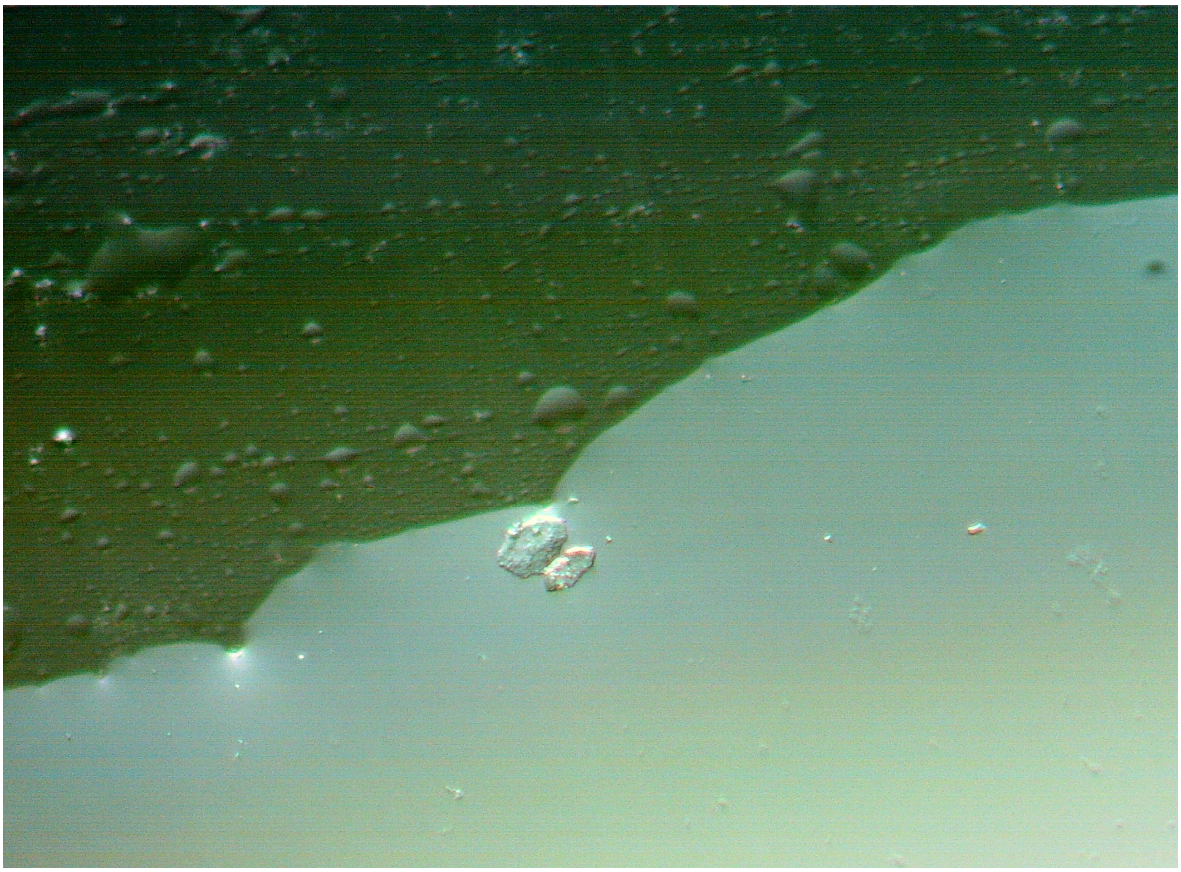

R. Delgado 2.022 (Fotografía 4)

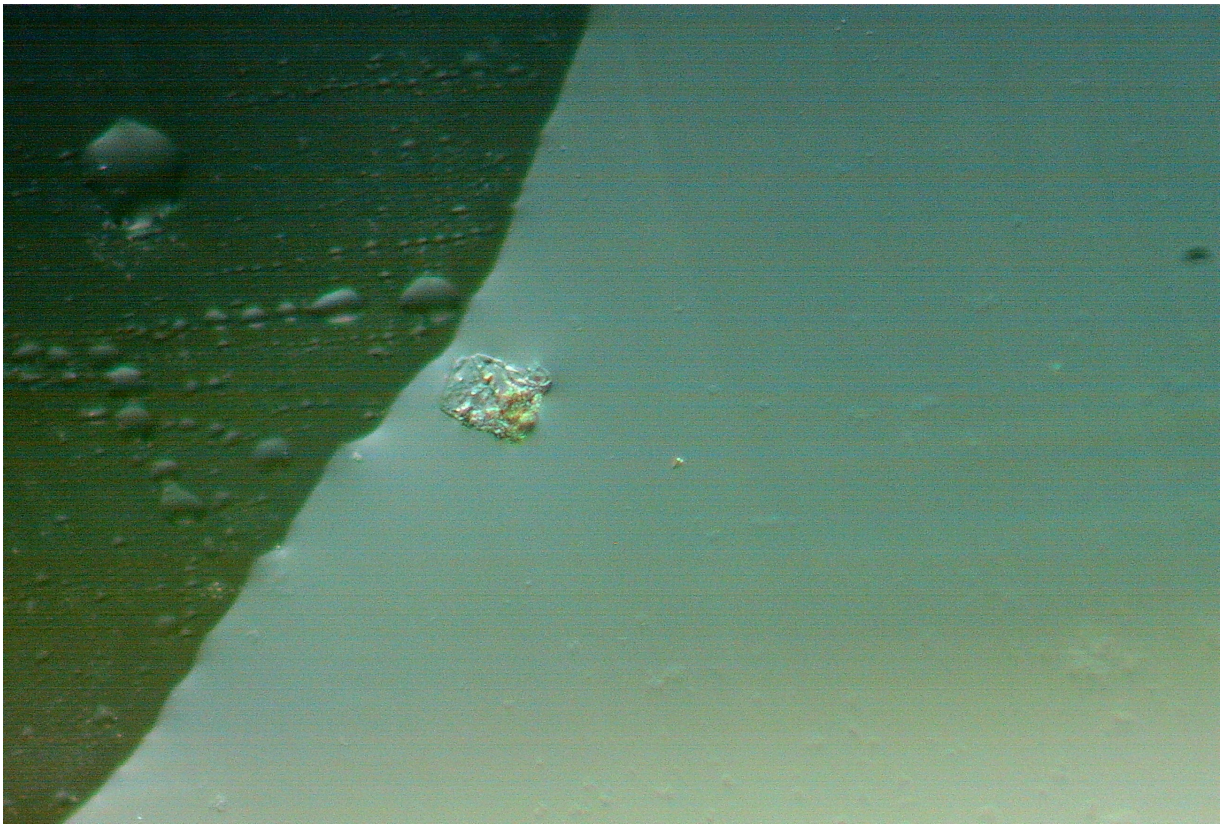

R. Delgado 2.022 (Fotografía 5)

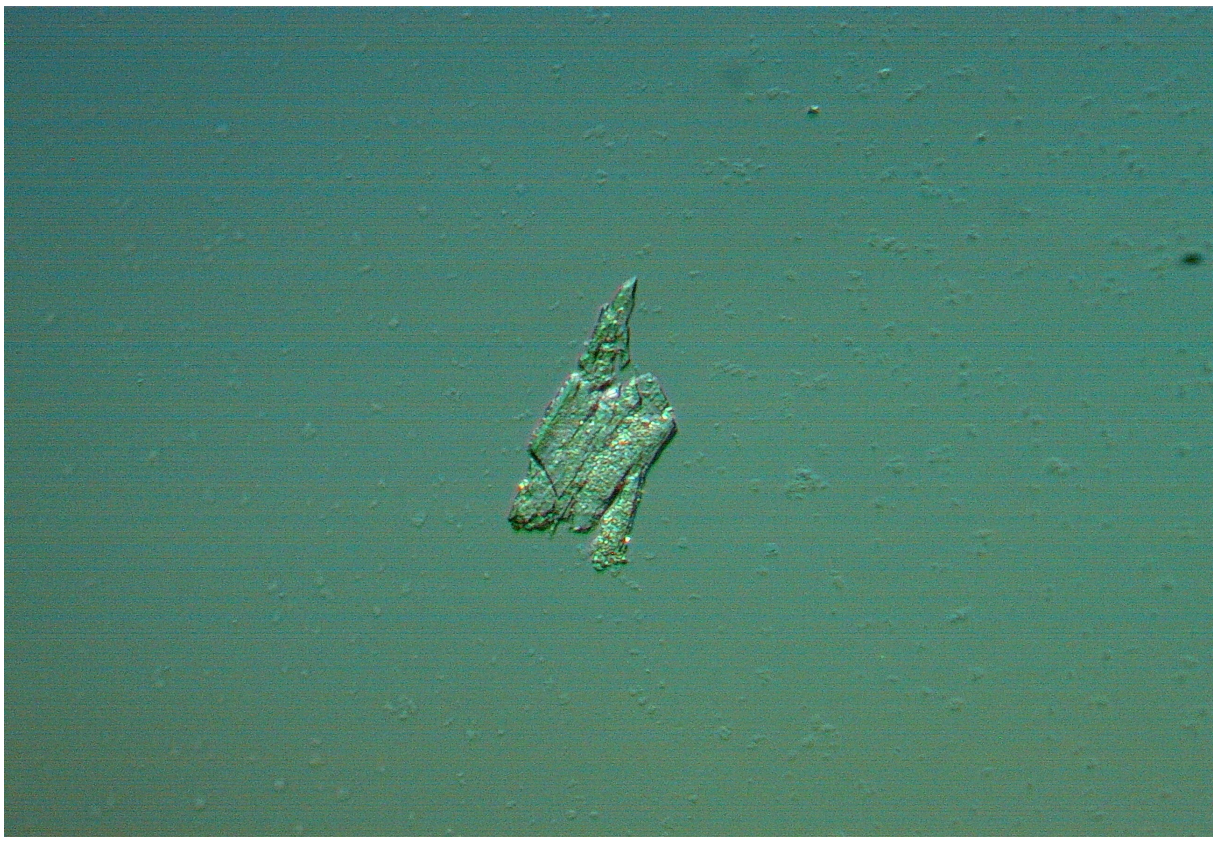

R. Delgado 2.022 (Fotografía 6)

R. Delgado 2.022 (Fotografía 7)

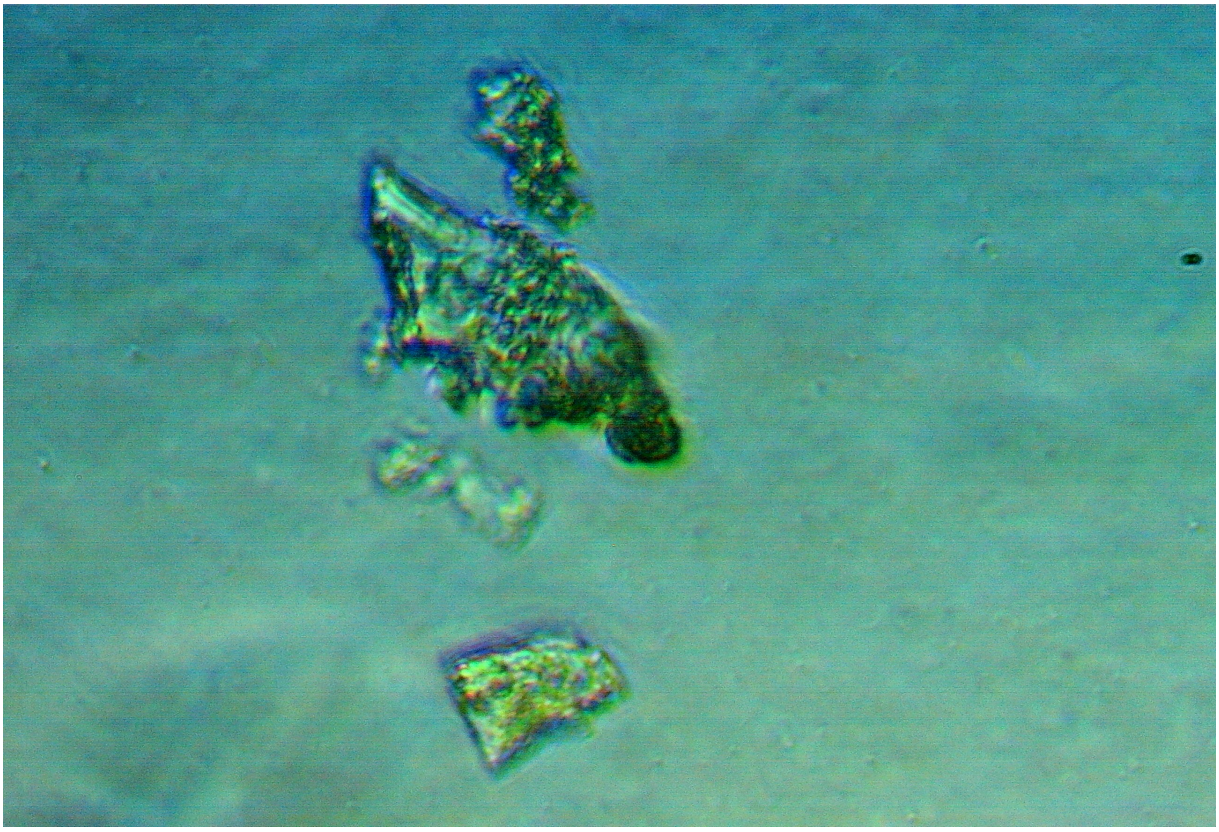

R. Delgado 2.022 (Fotografía 8)

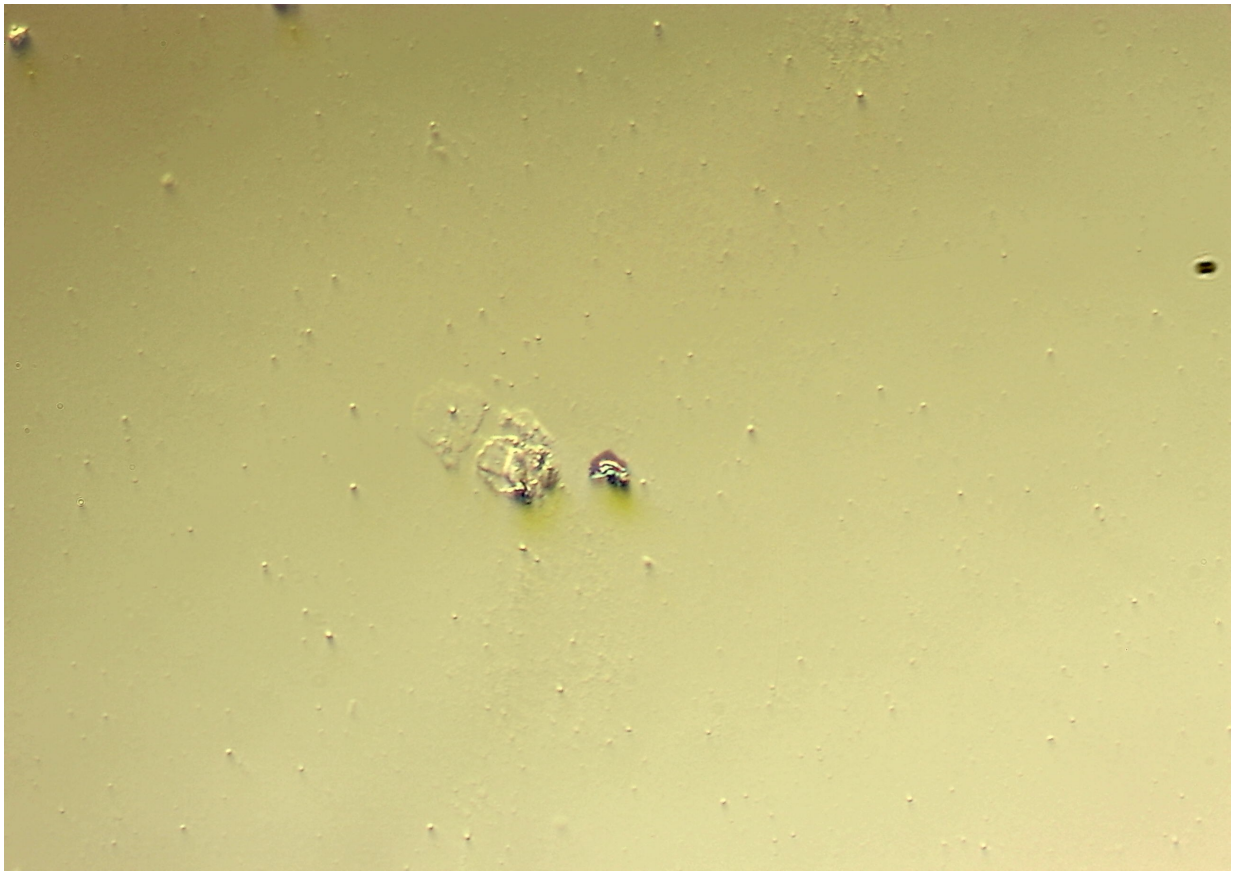

R. Delgado 2.022 (Fotografía 9)

R. Delgado 2.022 (Fotografía 10)

R. Delgado 2.022 (Fotografía 11)

R. Delgado 2.022 (Fotografía 12)

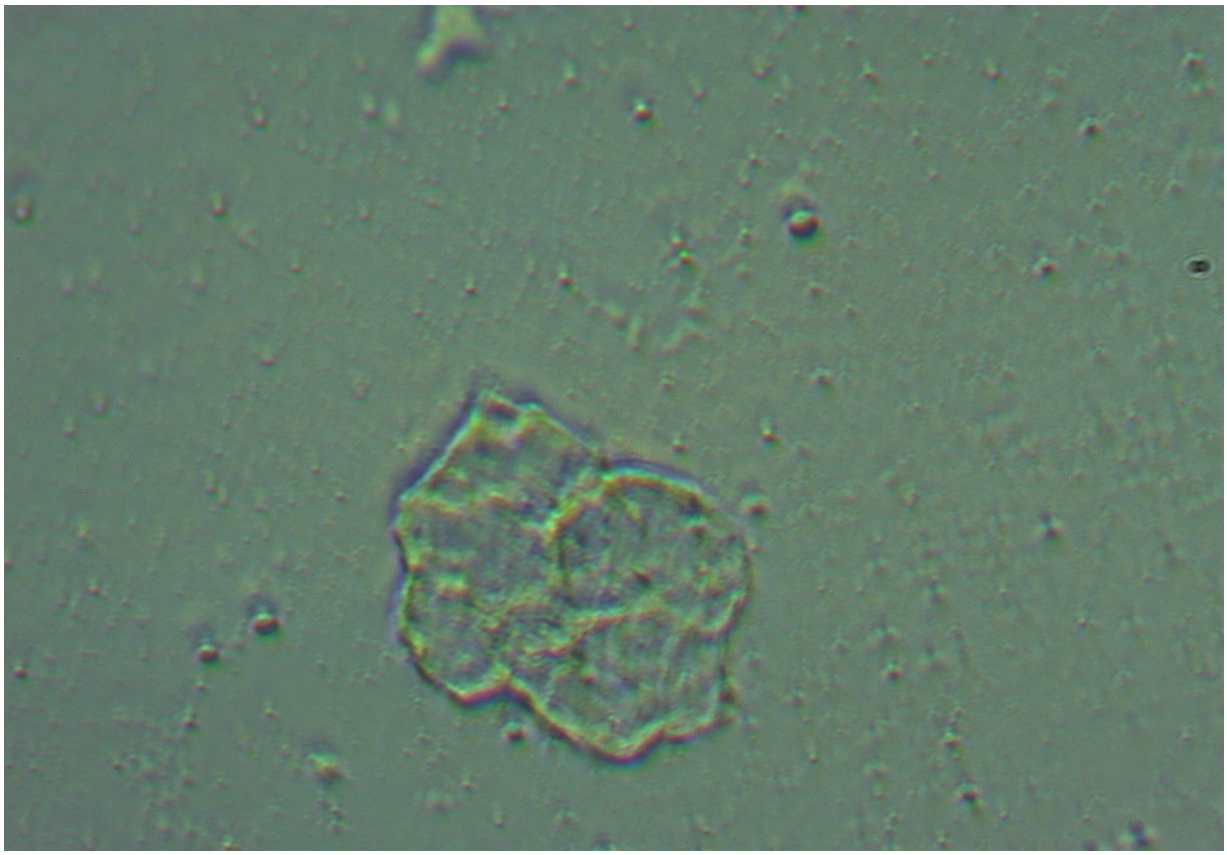

R. Delgado 2.022 (Fotografía 13)

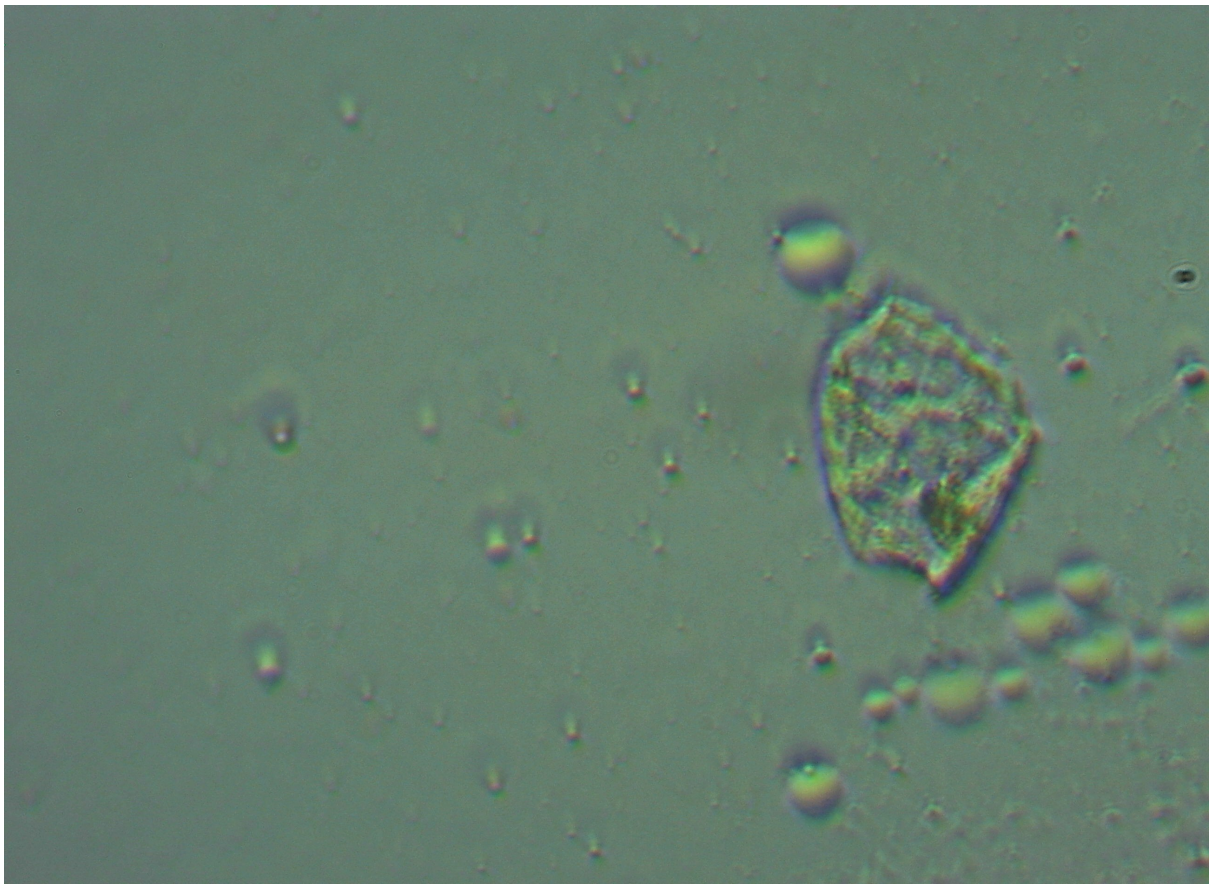

R. Delgado 2.022 (Fotografía 14)

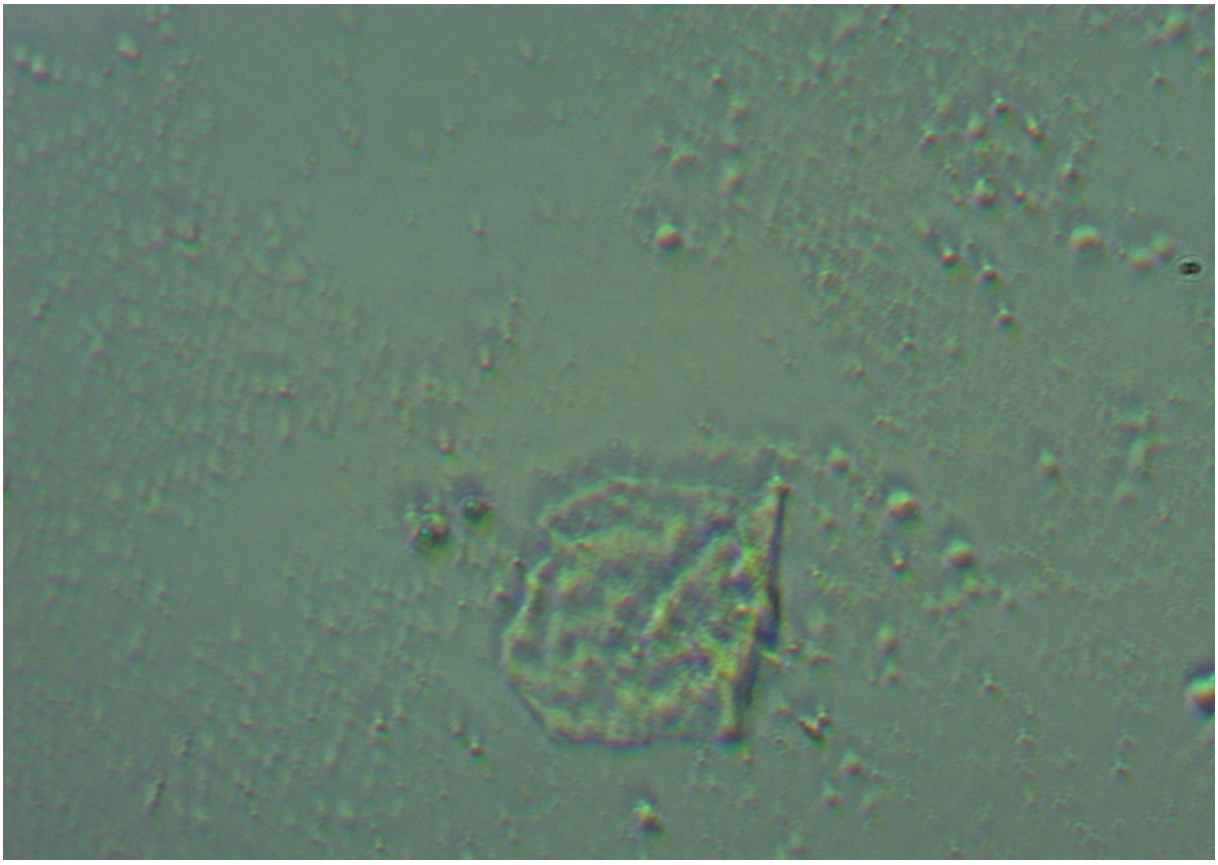

R. Delgado 2.022 (Fotografía 15)

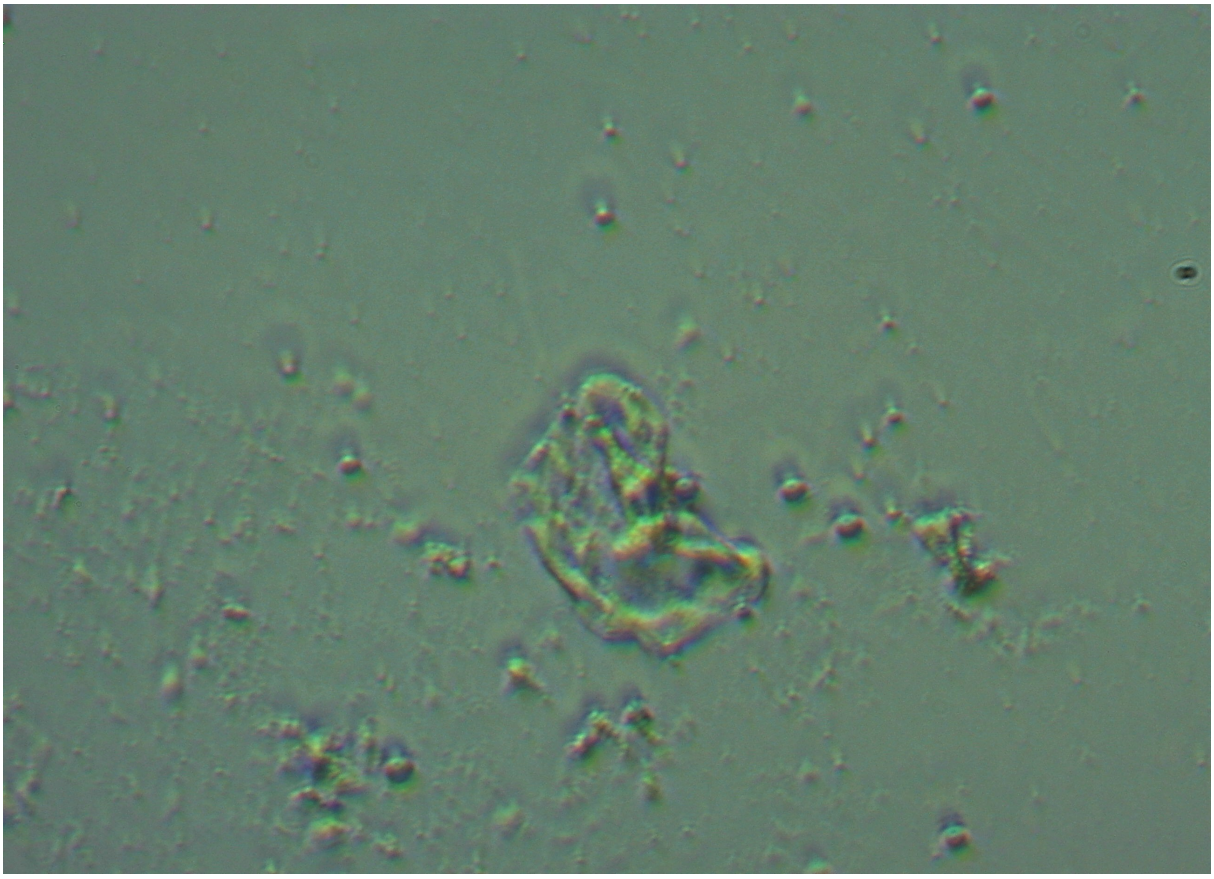

R. Delgado 2.022 (Fotografía 16)

- ANEXO 2 -

VISUALIZACIÓN EN LA MUESTRA DE AUTO-ENSAMBLADO DE OBJETOS

A continuación mostramos estructuras de **auto-ensamblado** en las muestras observadas y la evolución de las mismas a lo largo del tiempo. *(Fotografías 17 – 31)*

También la literatura científica recoge el proceso de auto-emsamblado de diferentes componentes para formar estructuras más complejas en contexto de la micro y nano-tecnología.

"Self-assembly as a key player for materials nanoarchitectonics".

https://www.tandfonline.com/doi/full/10.1080/14686996.2018.1553108. Katsuhiko Ariga, Michihiro Nishikawa, Taizo Mori, Jun Takeya, Lok Kumar Shrestha y Jonathan P. Hill (Enero, 2.019)

Nota: La investigación se presenta con un archivo descargable en formato video mp4 para la comprensión de lo observado en este anexo.

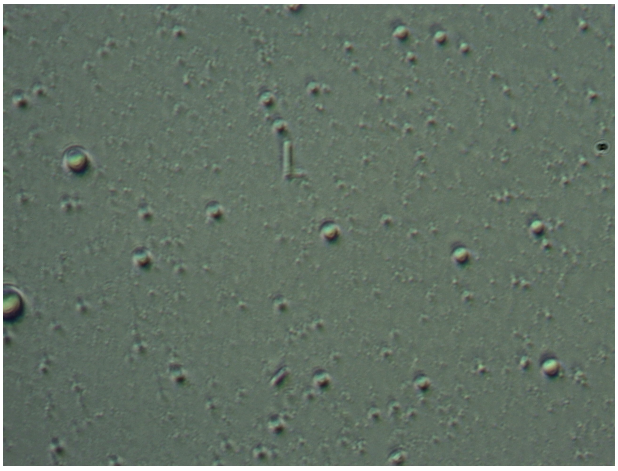

Fotografía 17

Fotografía 18

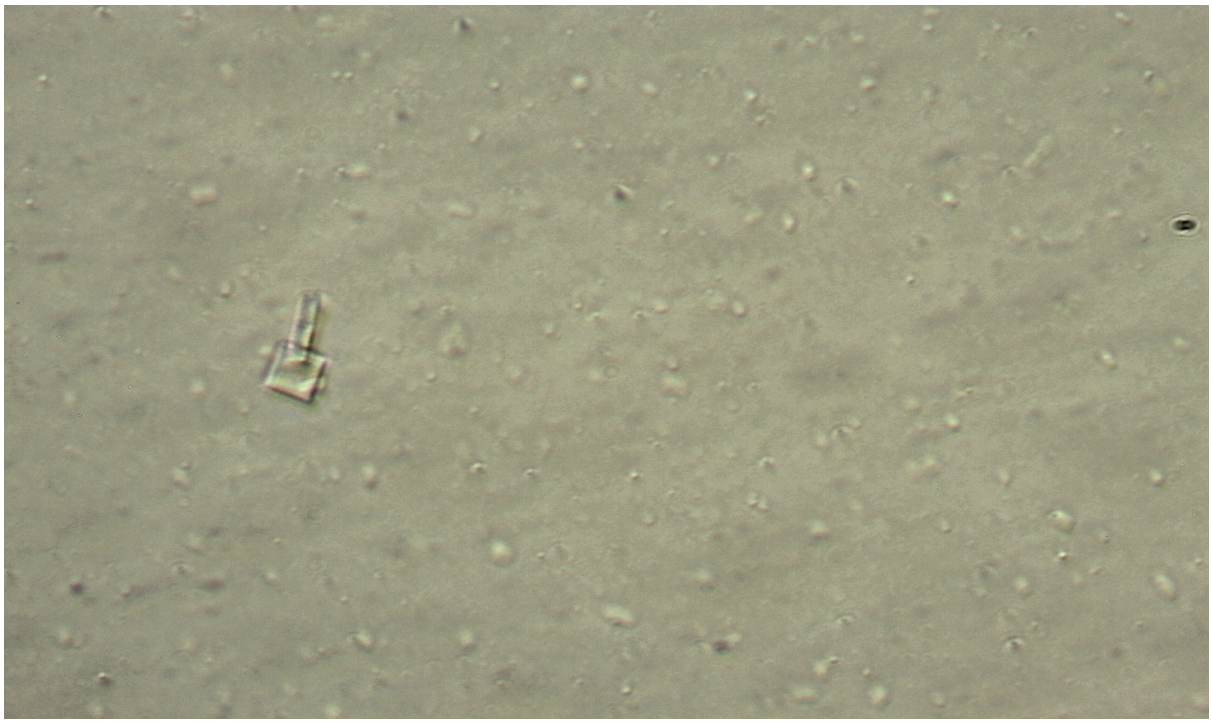

Fotografía 19

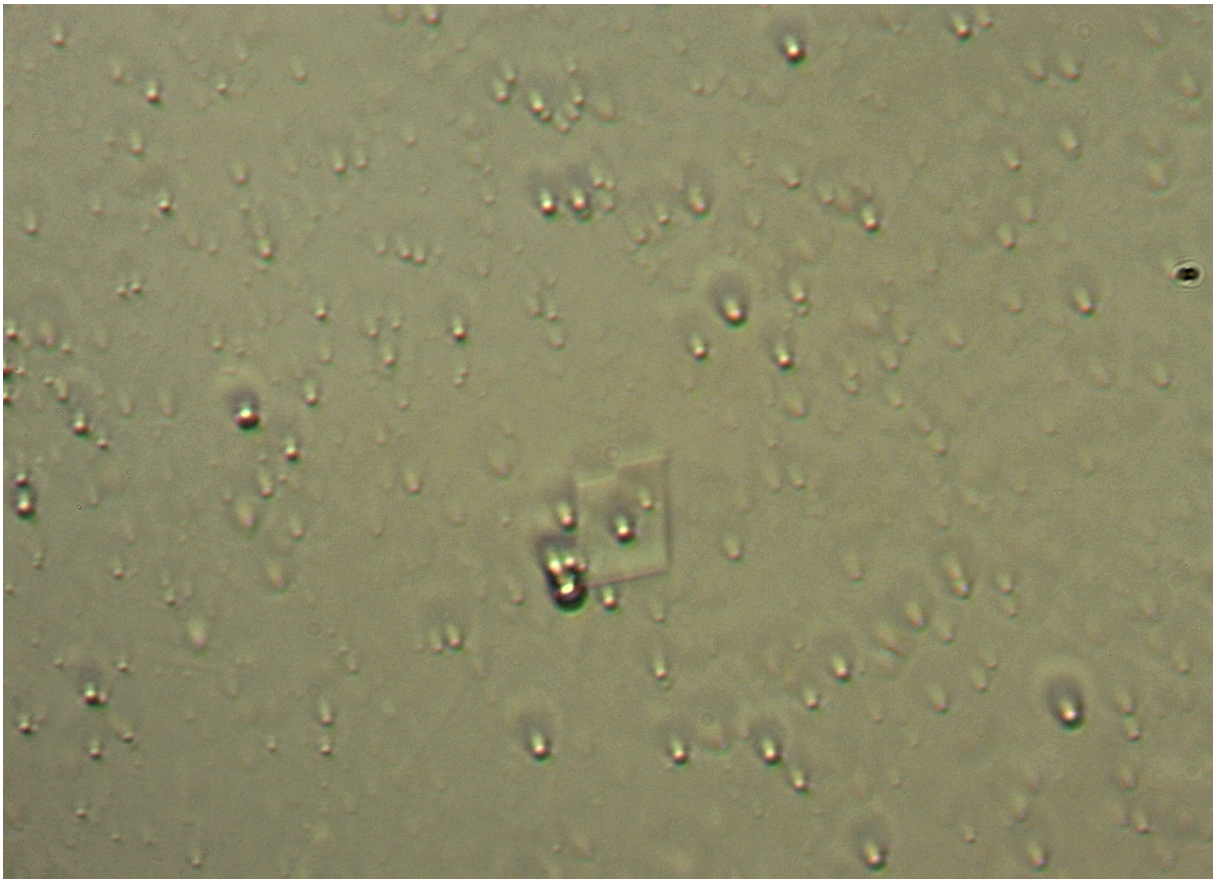

Fotografía 20

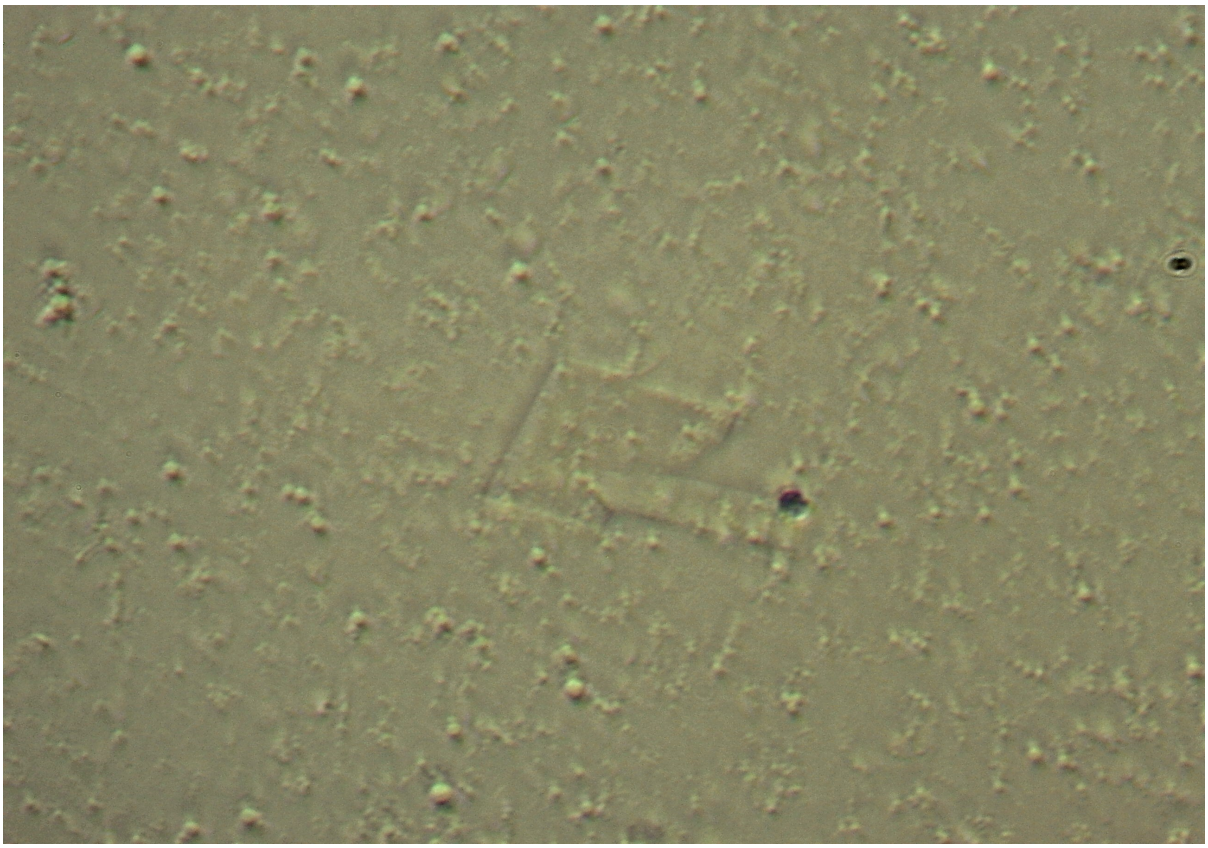

Fotografía 21

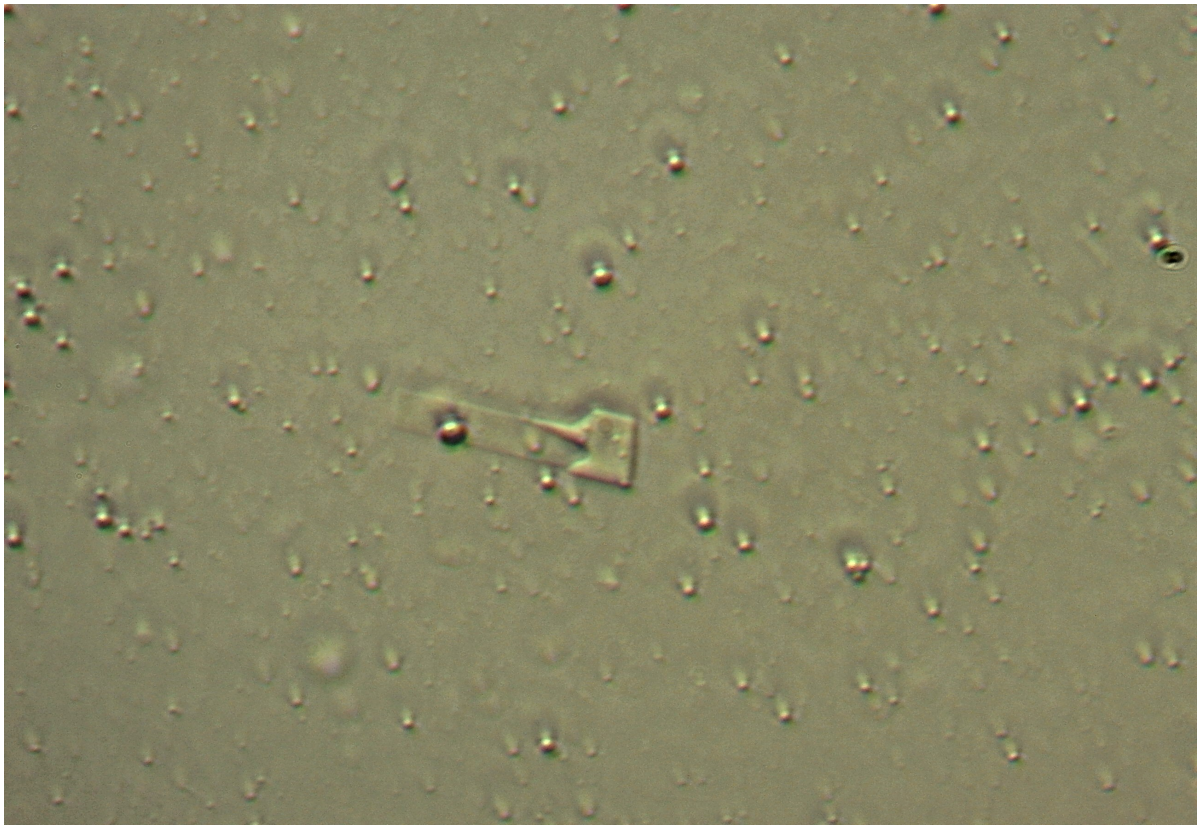

Fotografía 22

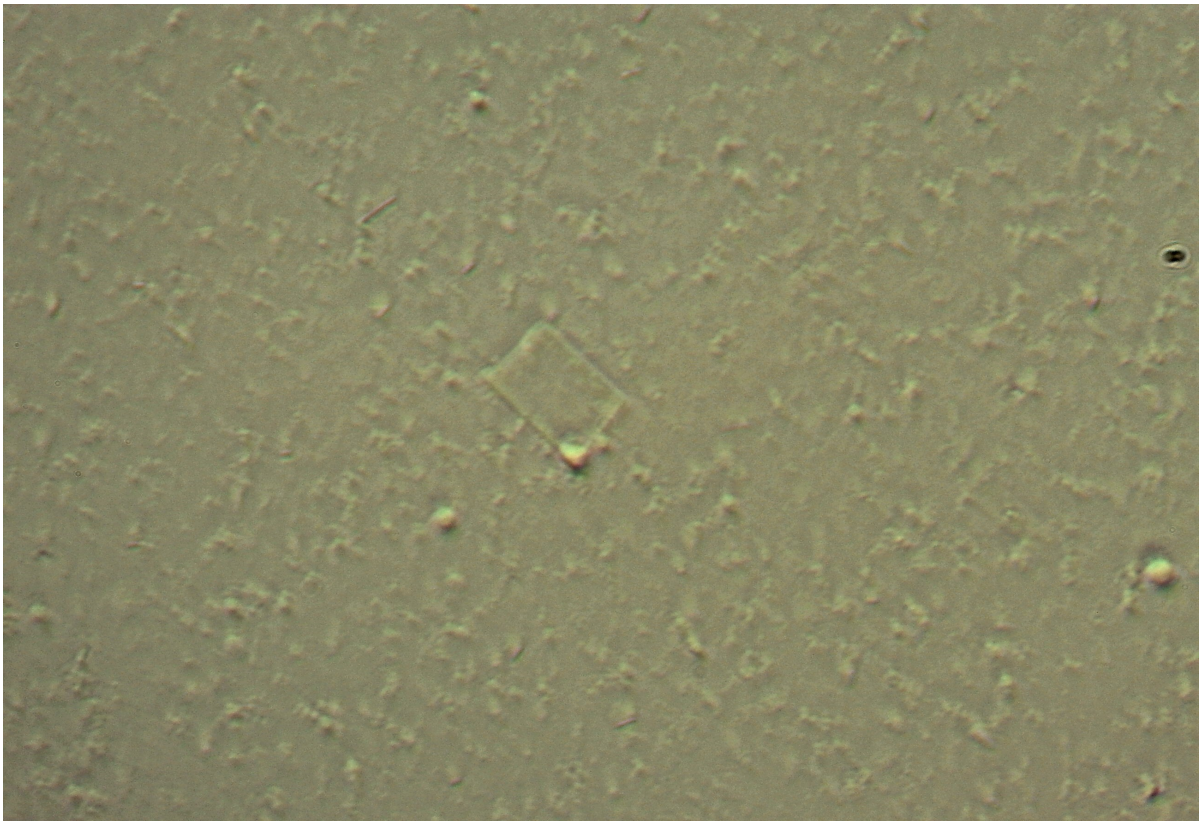

Fotografía 23

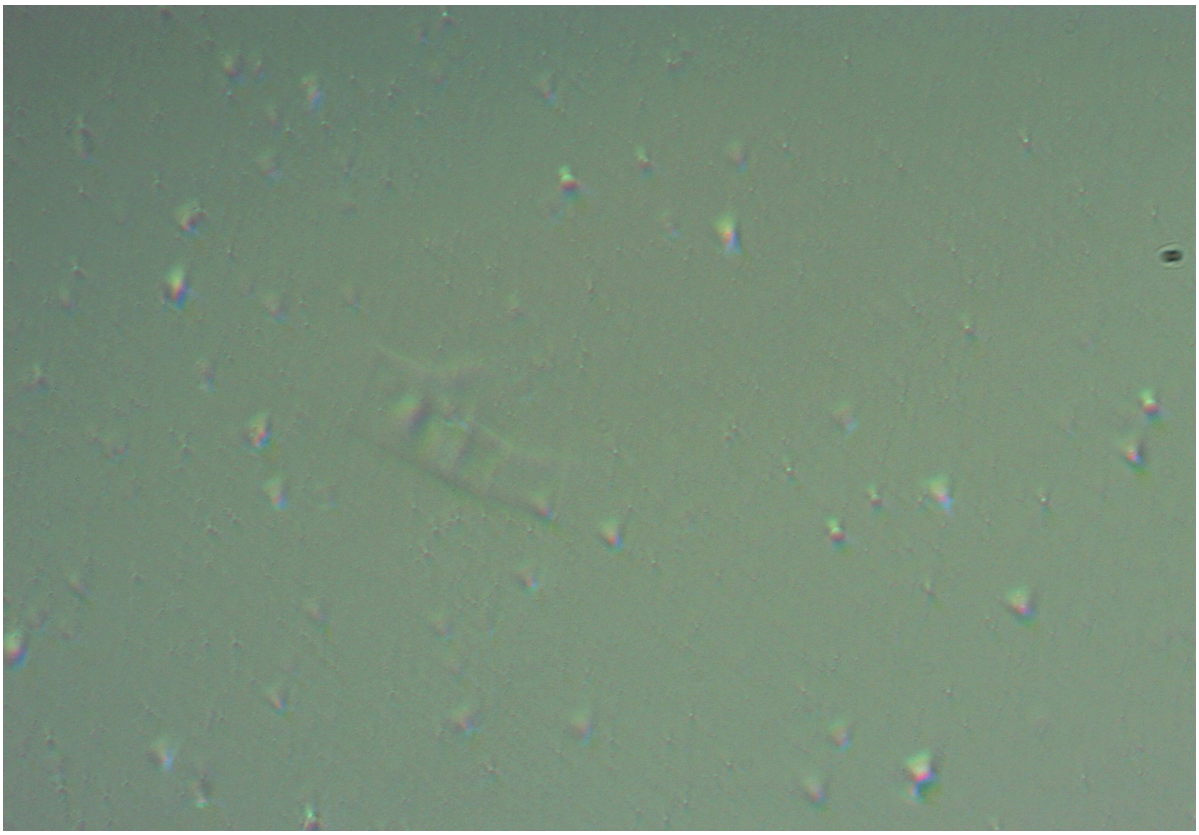

Fotografía 24

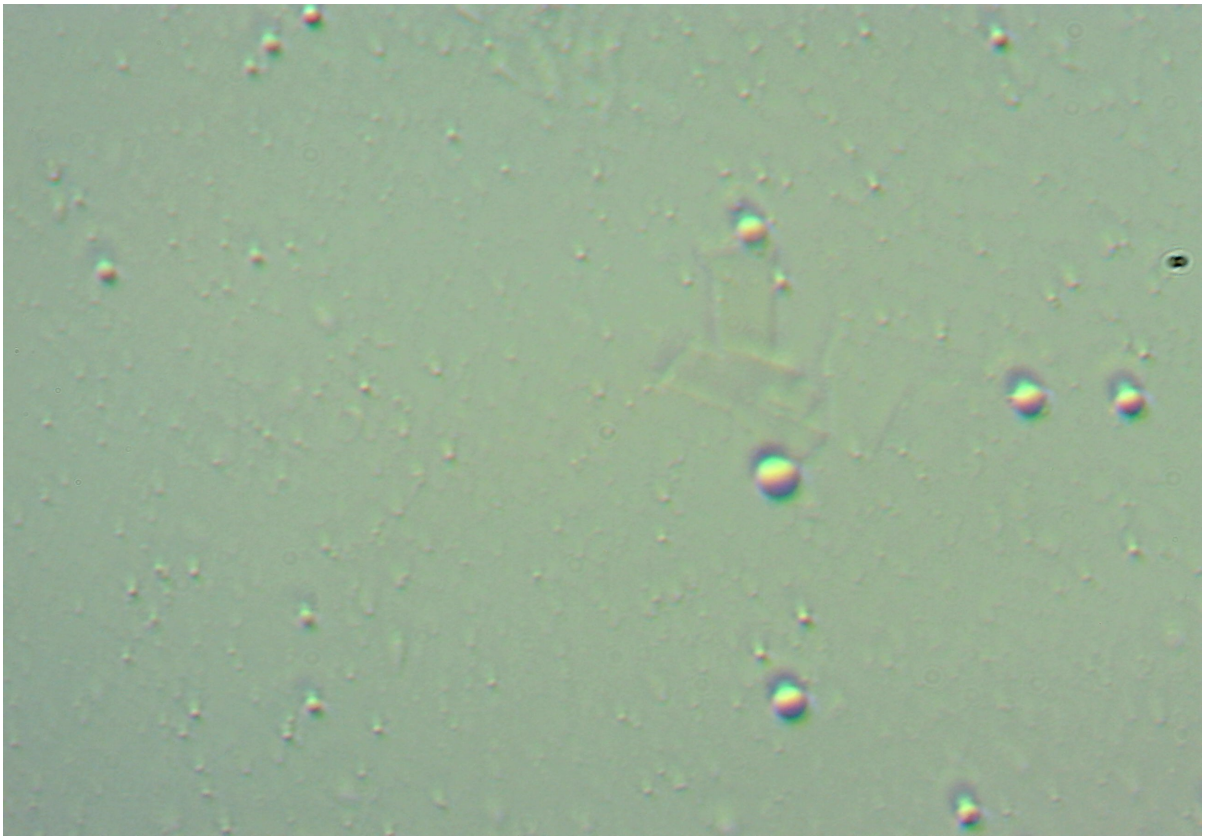

Fotografía 25

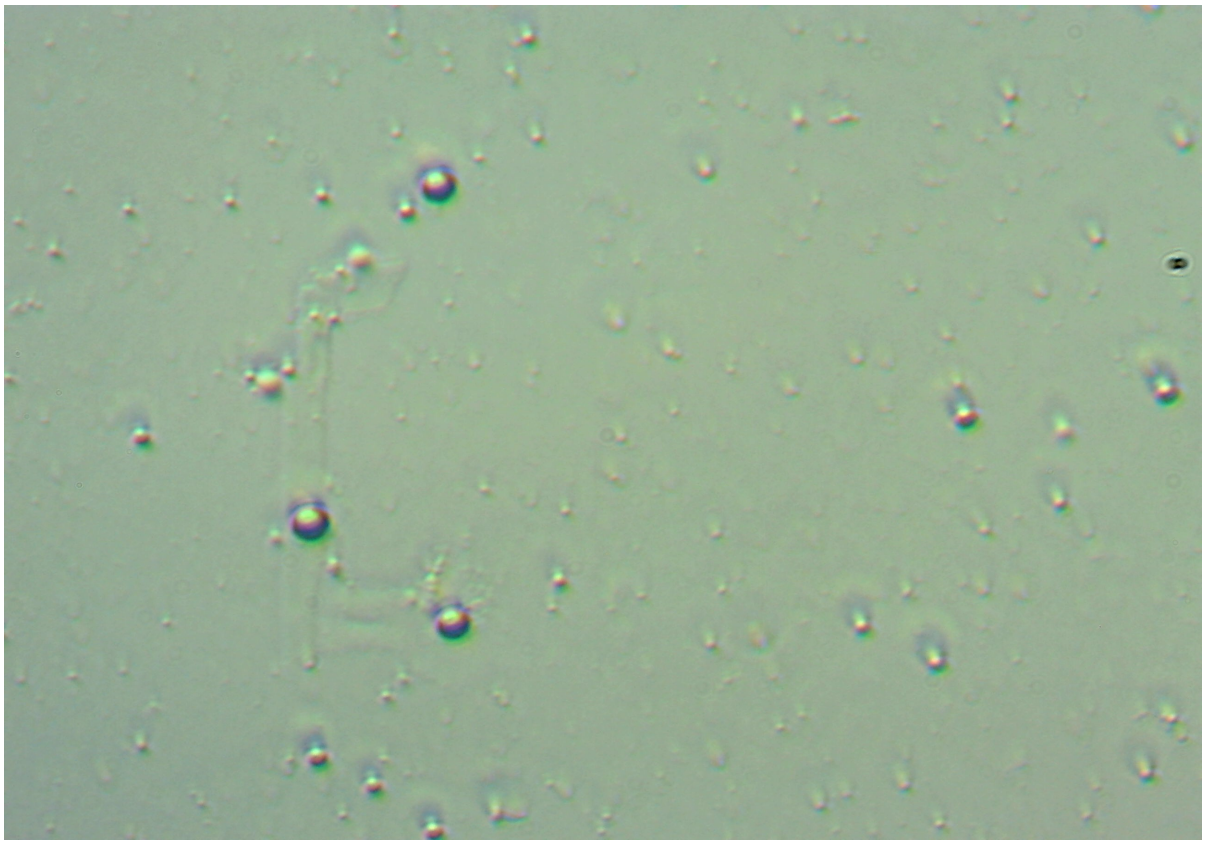

Fotografía 26

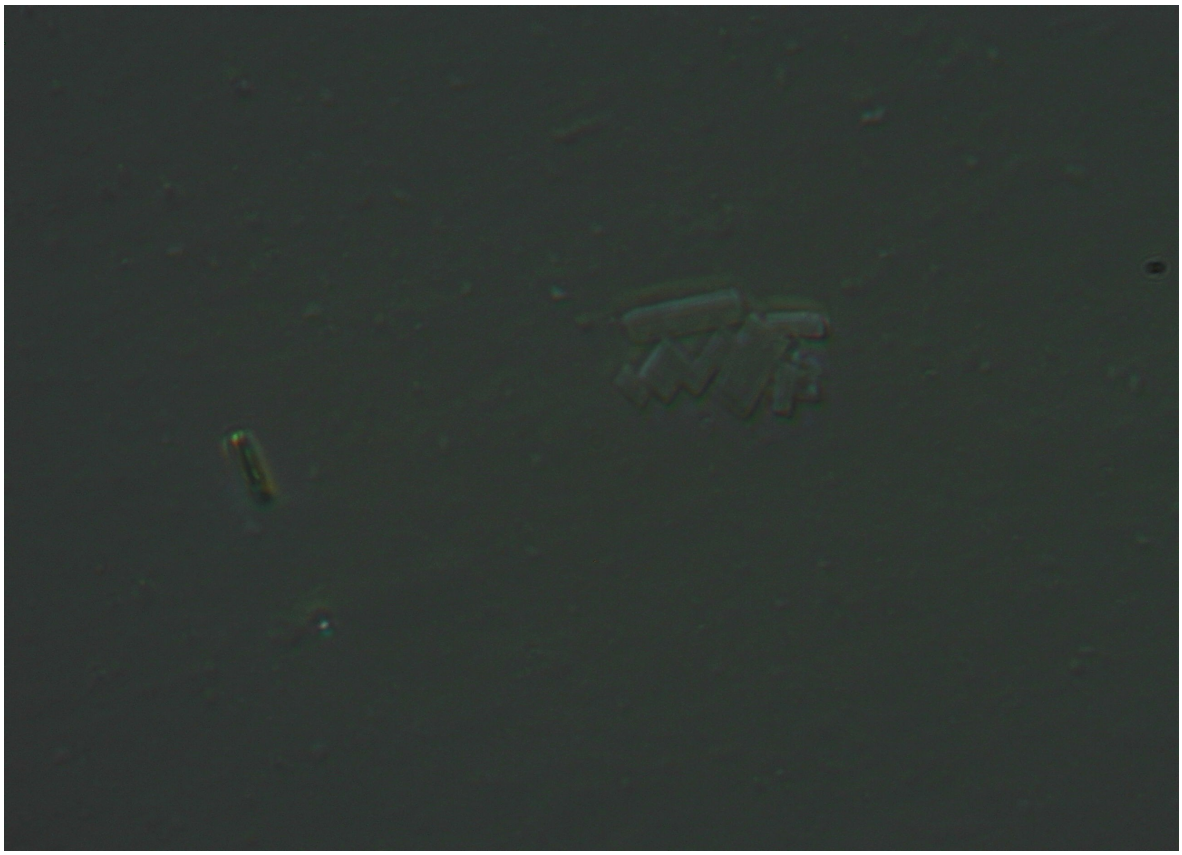

Fotografía 27

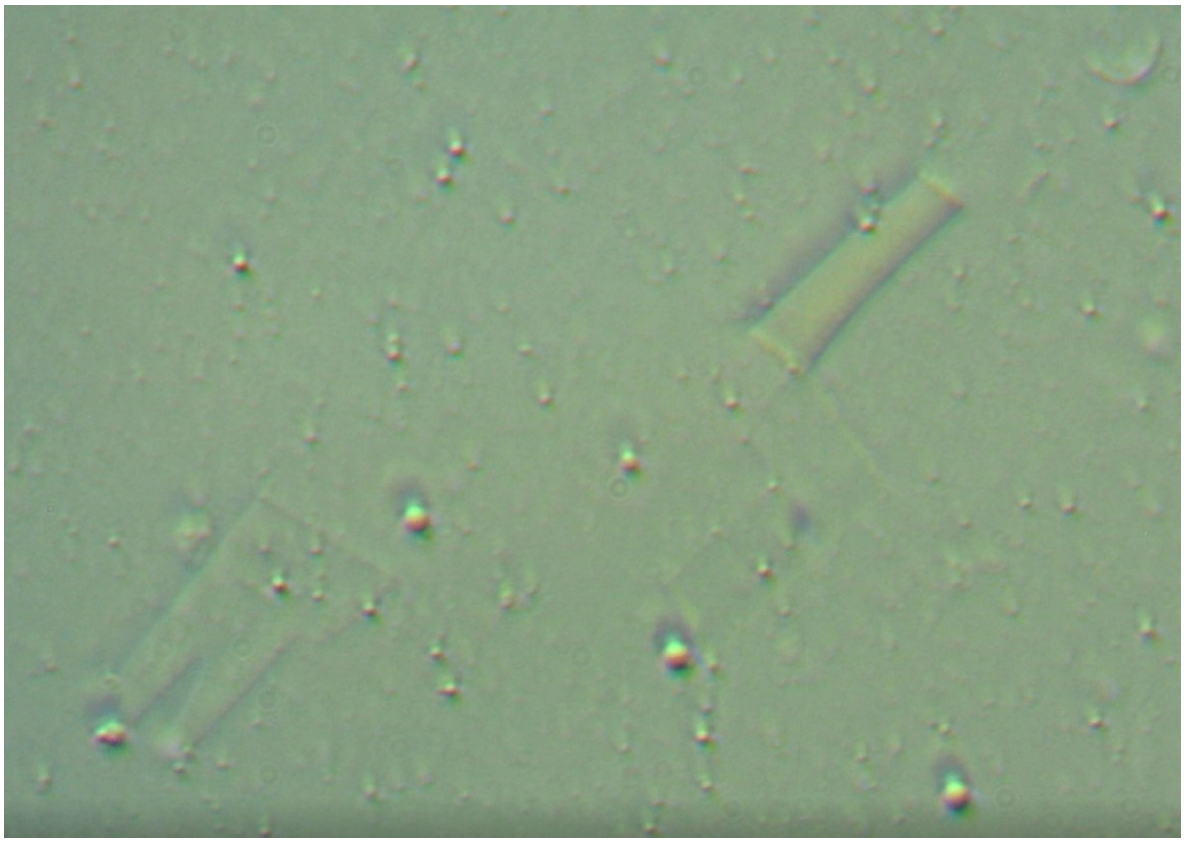

Fotografía 28

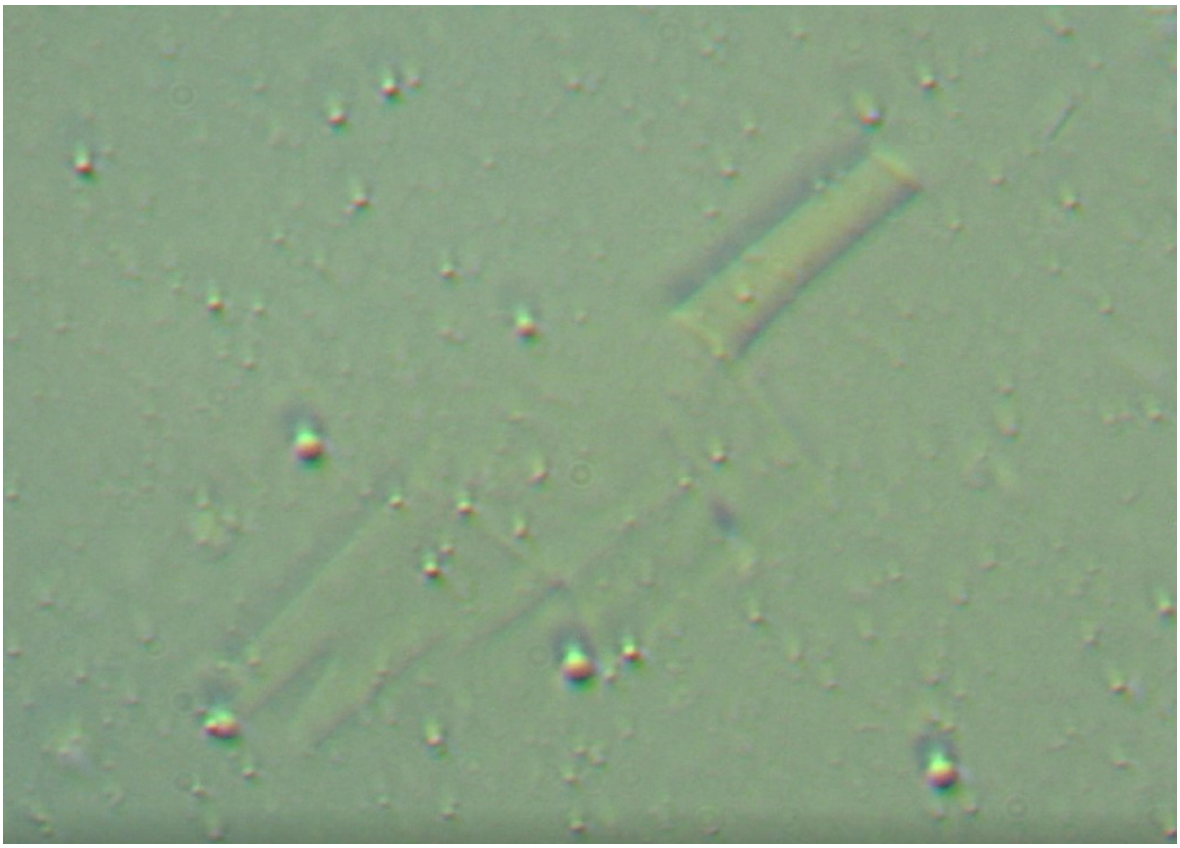

Fotografía 29

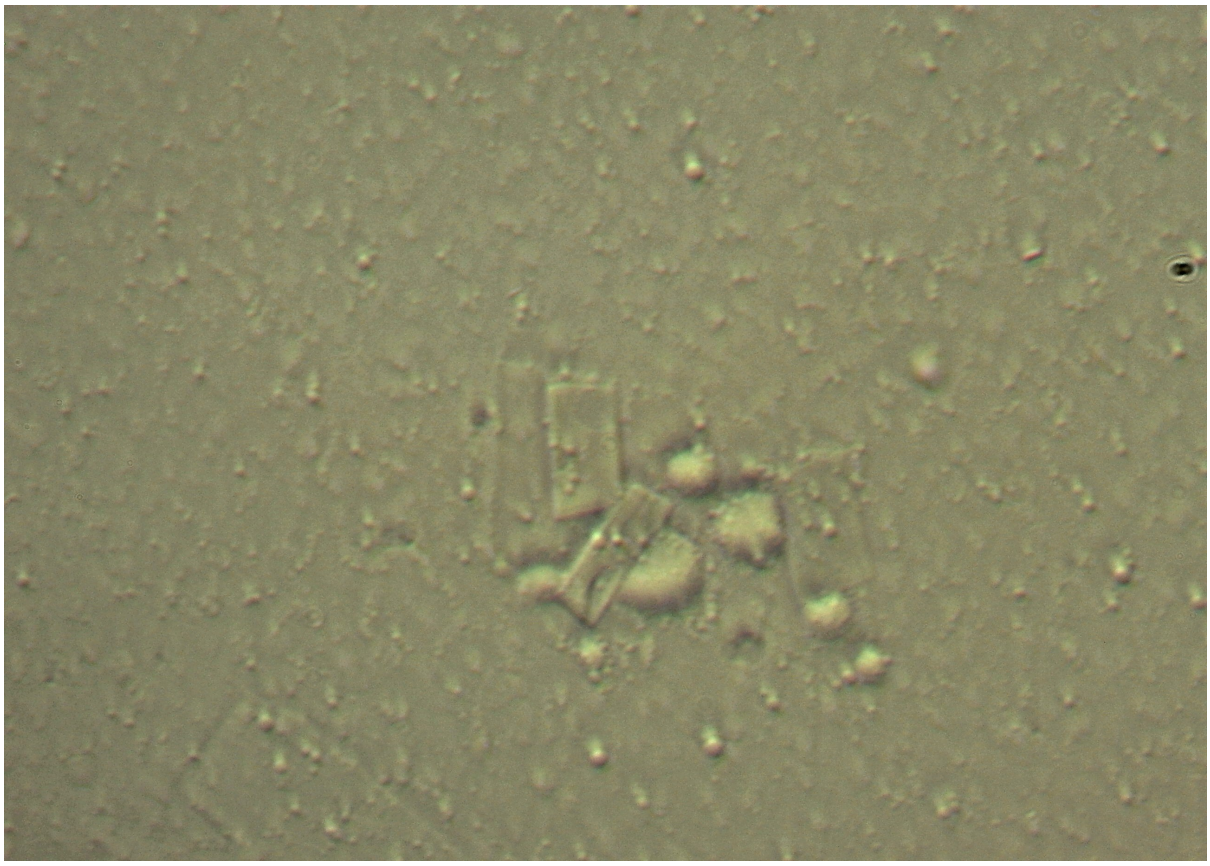

Fotografía 30

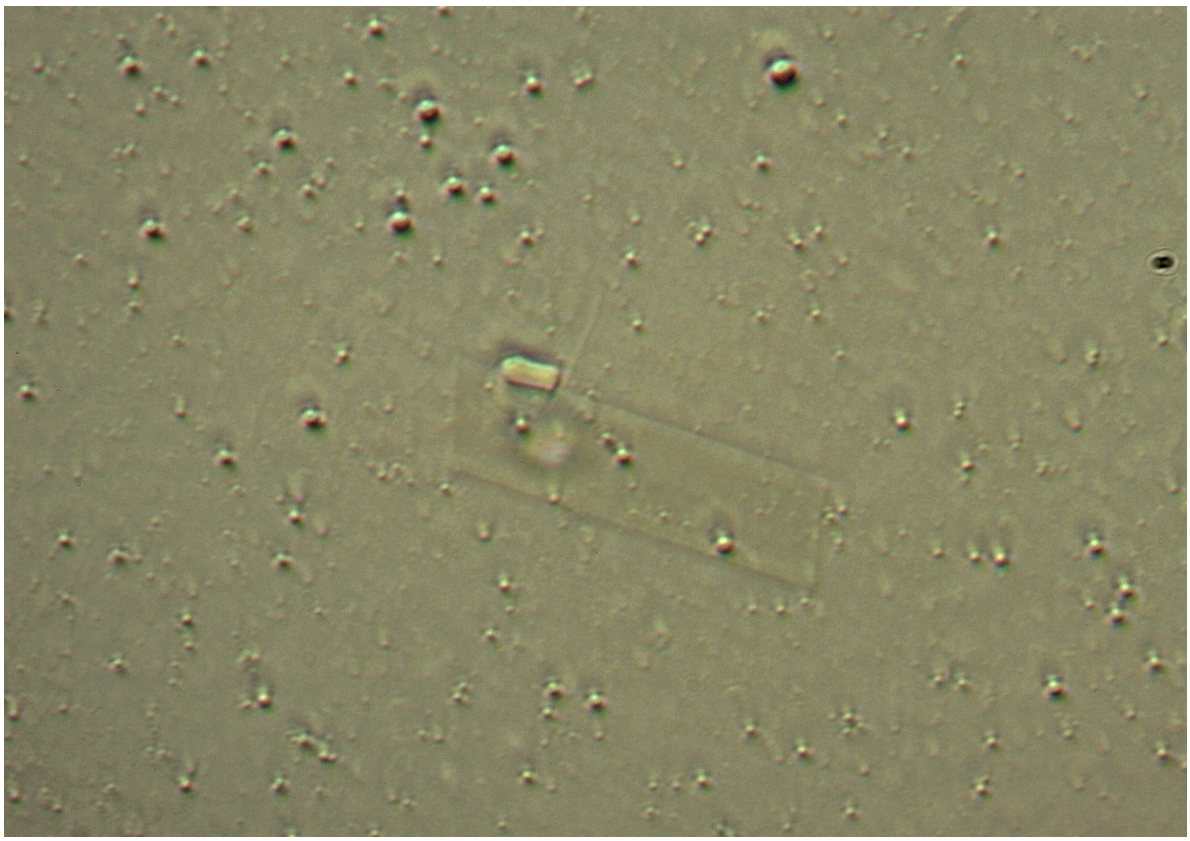

Fotografía 31

ANNEXE 2

VISUALISATION D'OBJETS AUTO-ASSEMBLÉS DANS L'ÉCHANTILLON

Nous montrons ci-dessous les structures auto-assemblées dans les échantillons observés et leur évolution dans le temps. (Photographies 17 - 31)

La littérature scientifique fait également état du processus d'auto-assemblage de différents composants pour former des structures plus complexes dans le contexte des micro- et nanotechnologies.

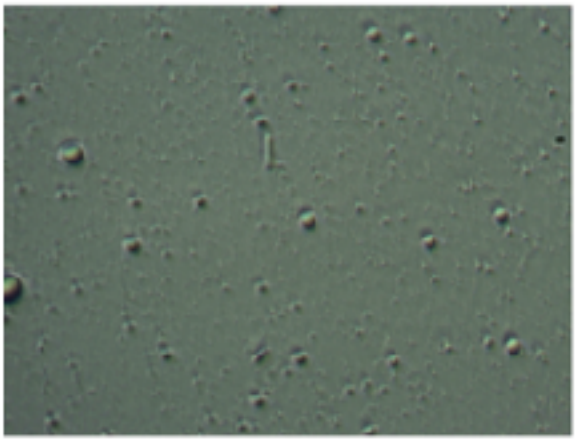

Fotografia 17

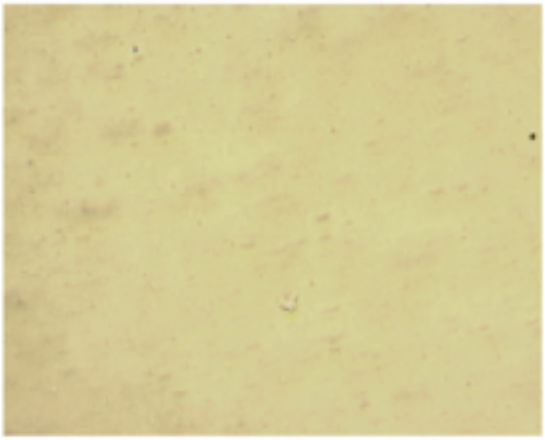

Fotografia 18

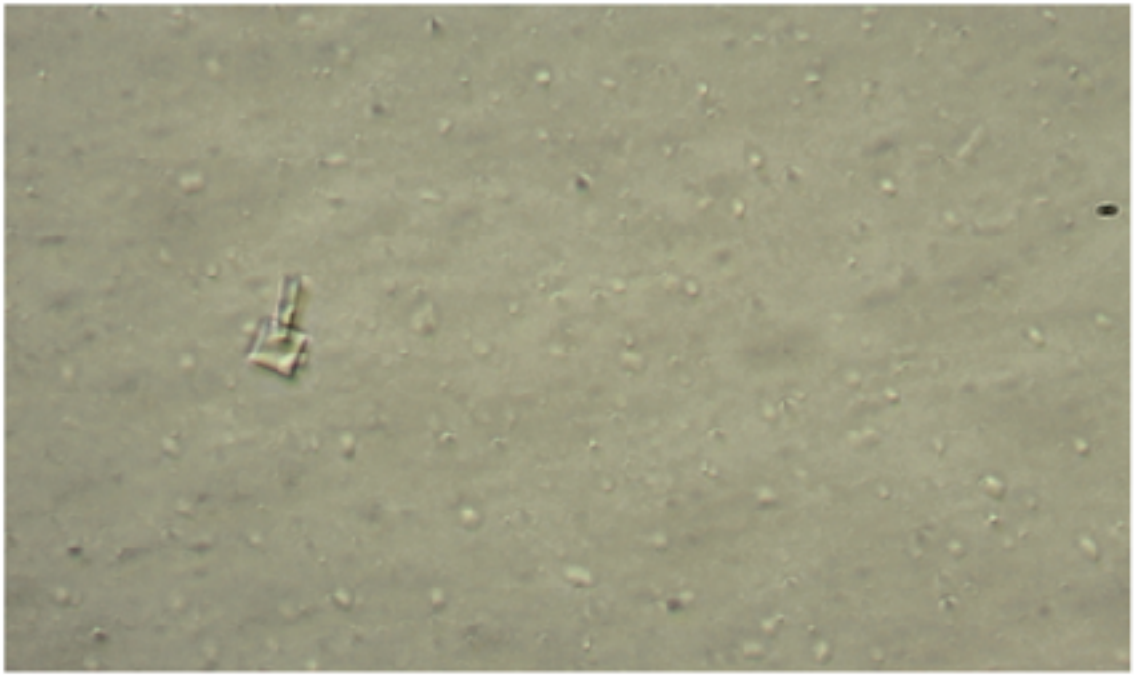

Fotografia 19

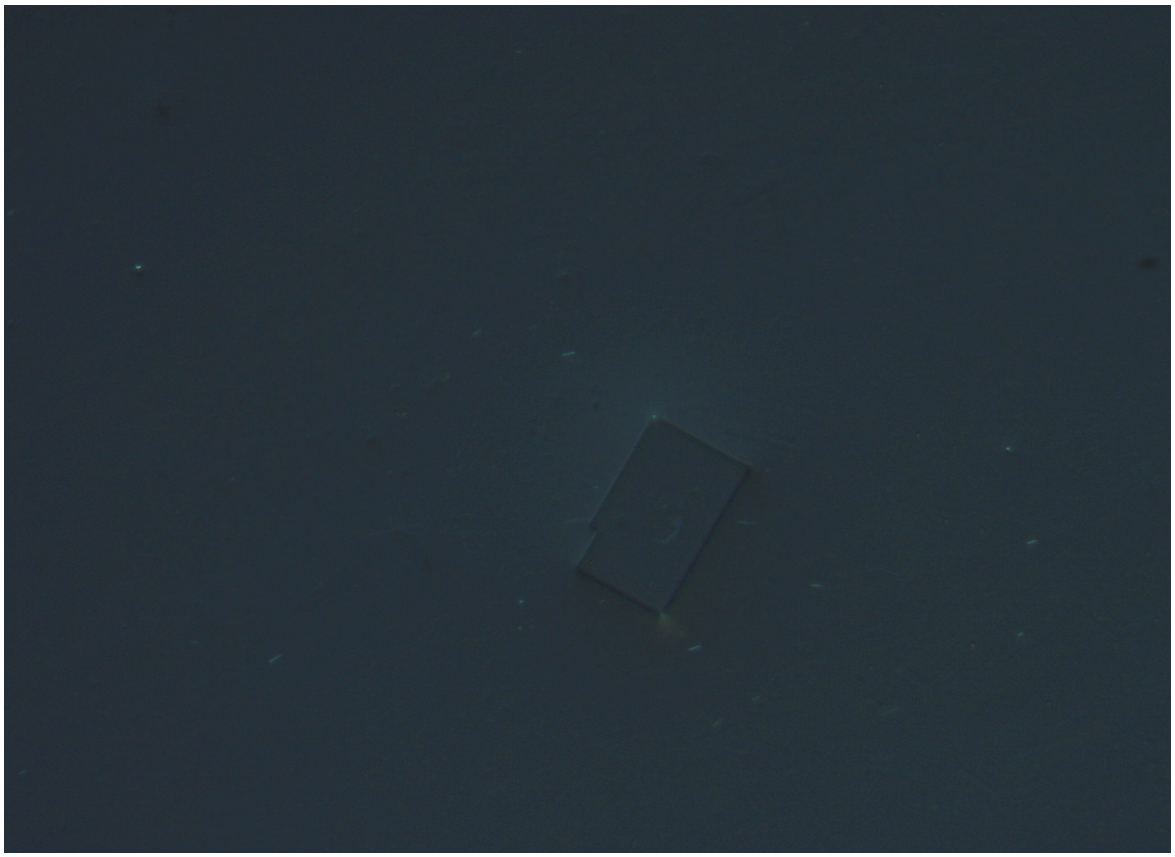

Fotografía 35

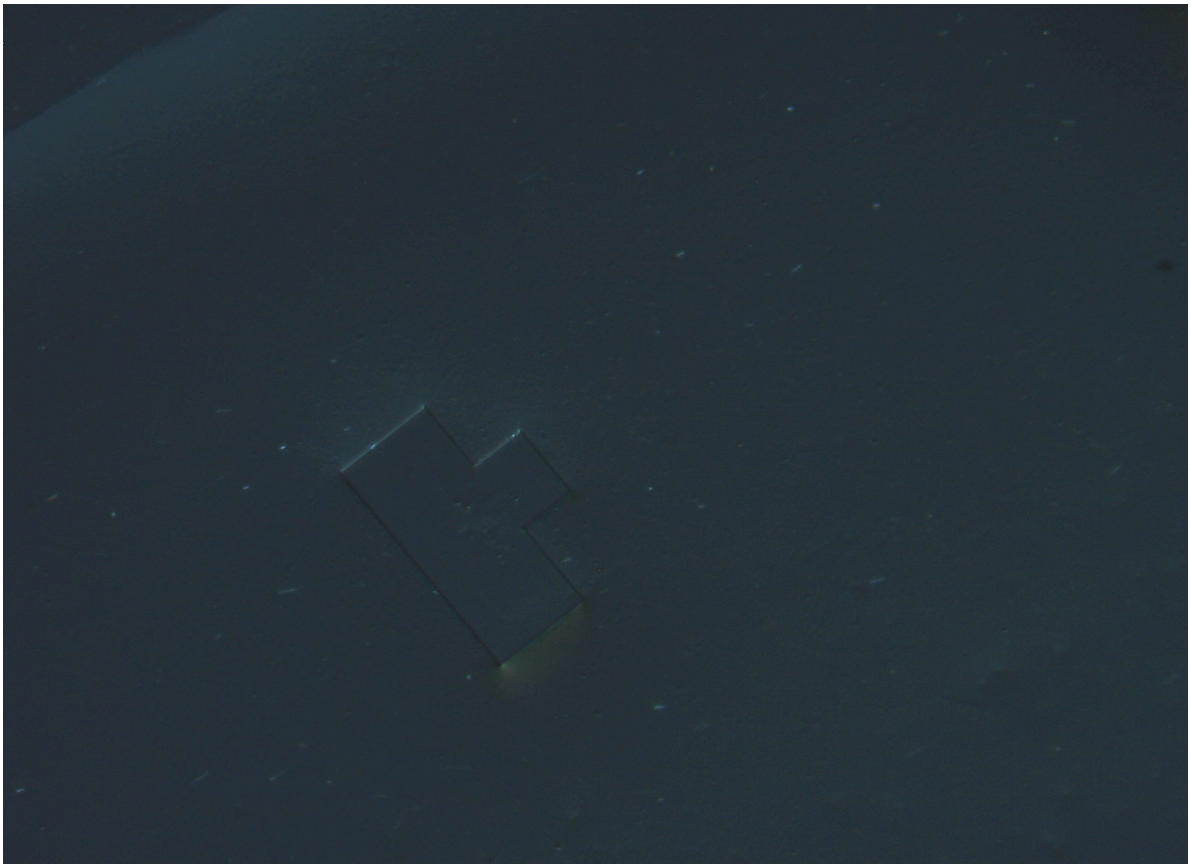

Fotografía 36

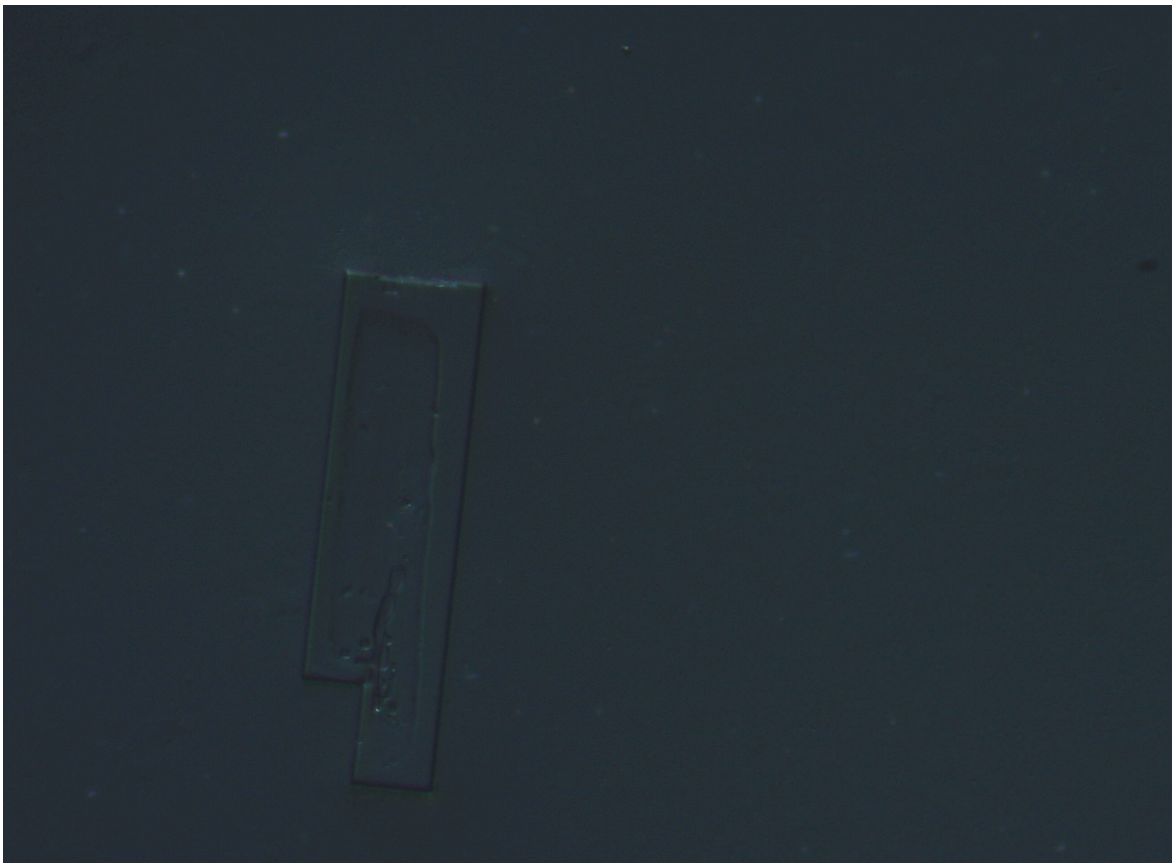

Fotografía 37

Fotografía 38

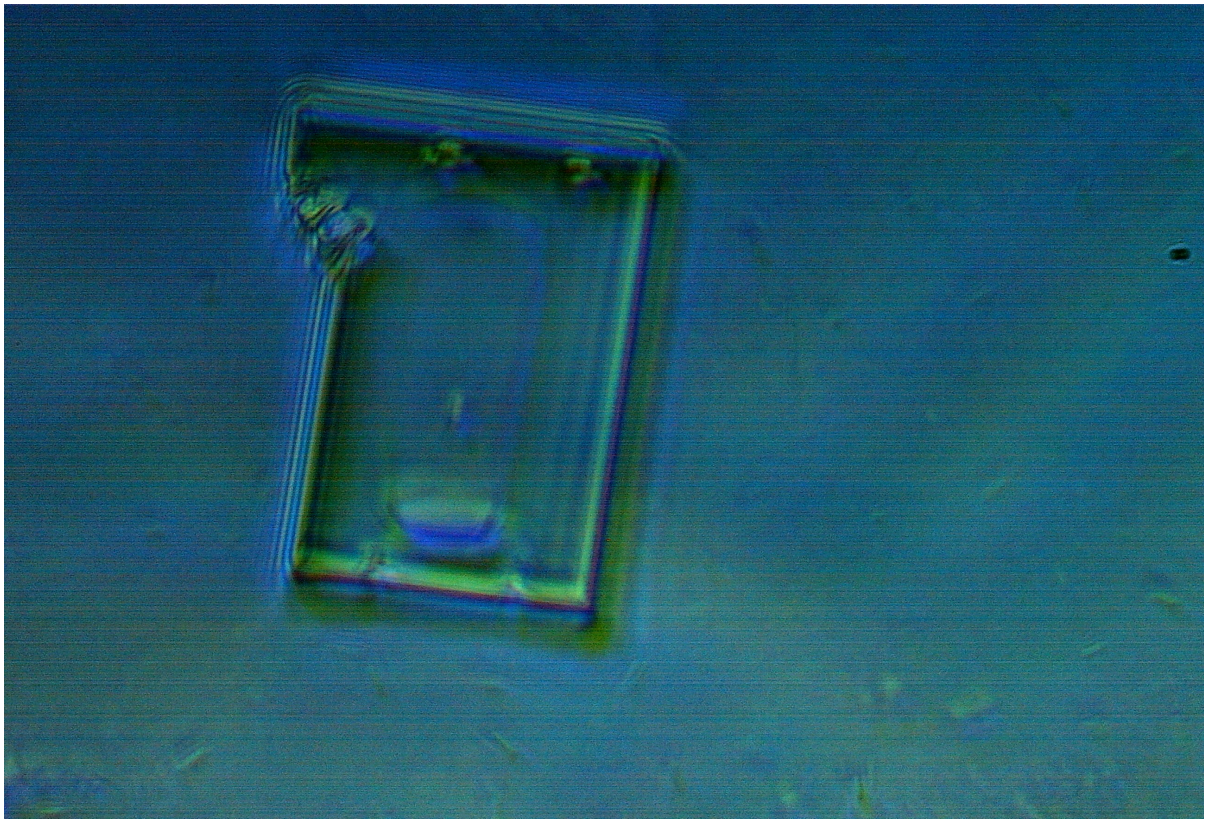

Fotografía 39

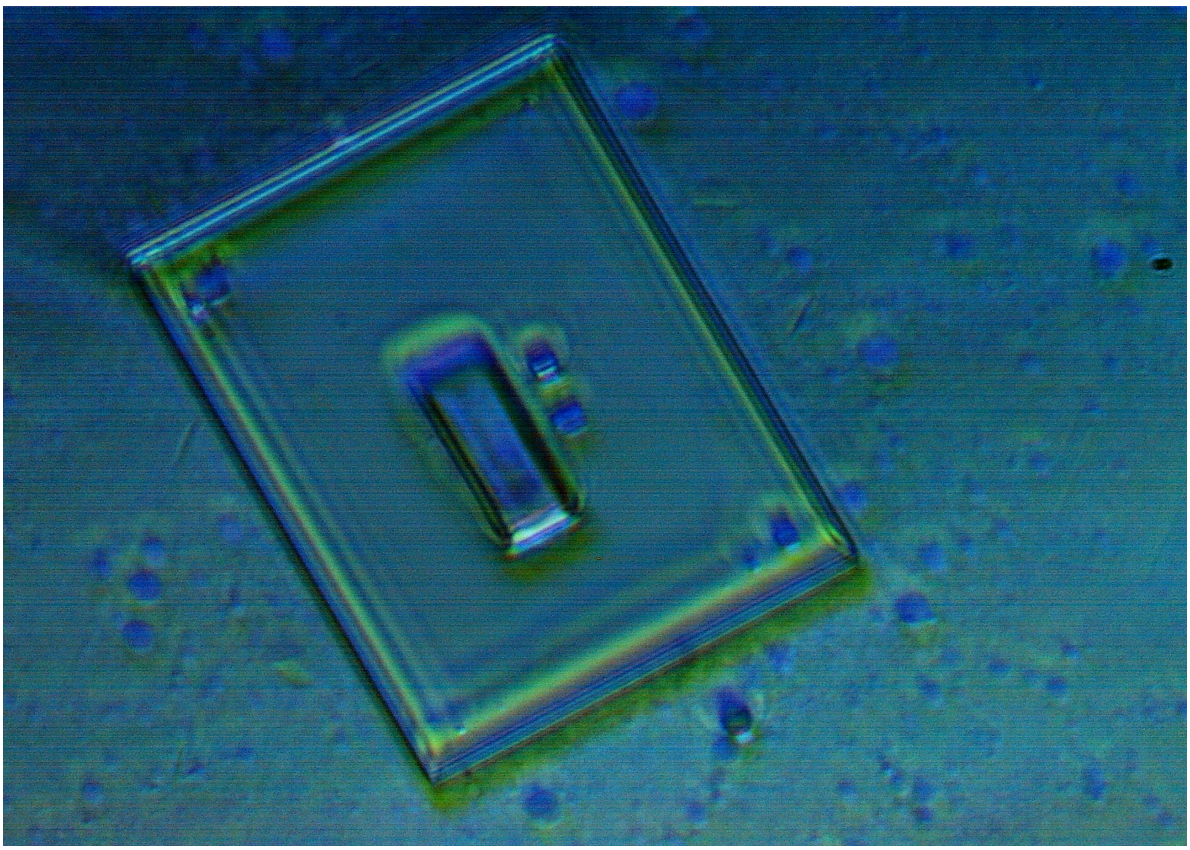

Fotografía 40

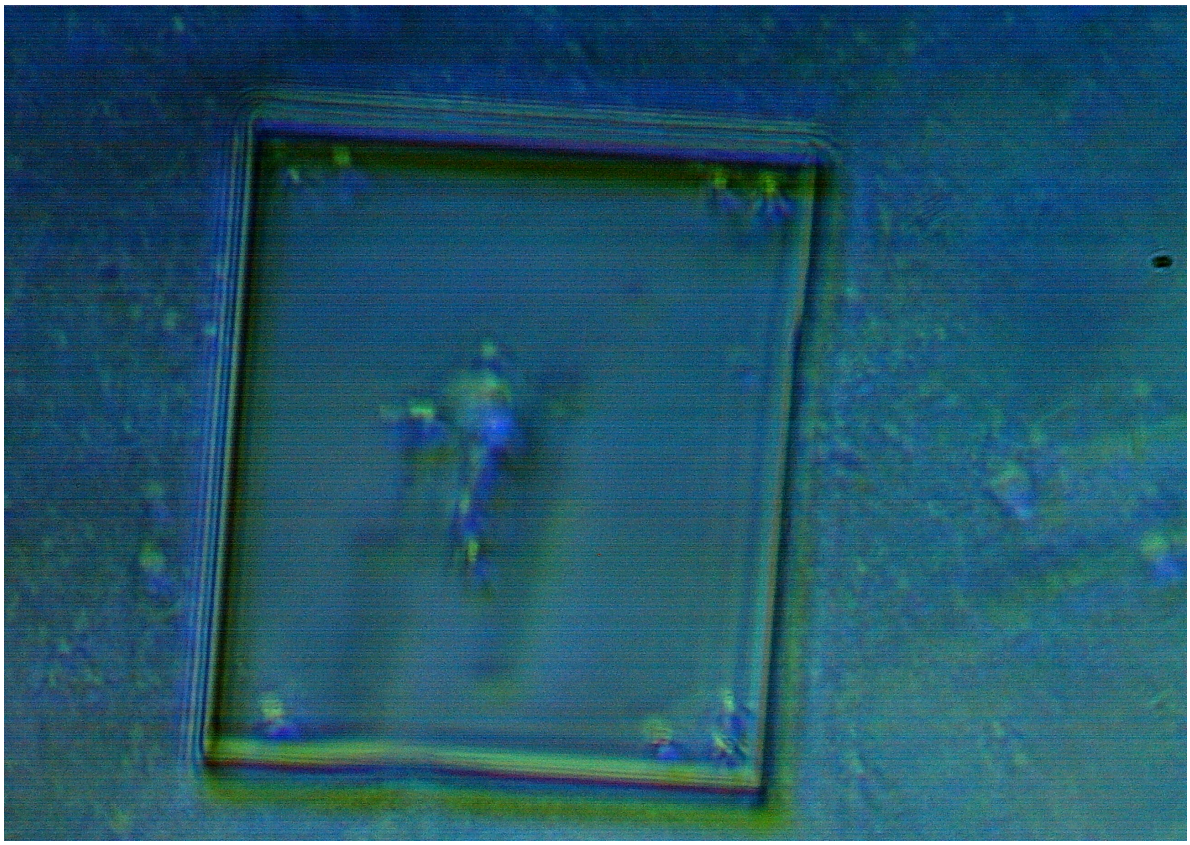

Fotografía 41

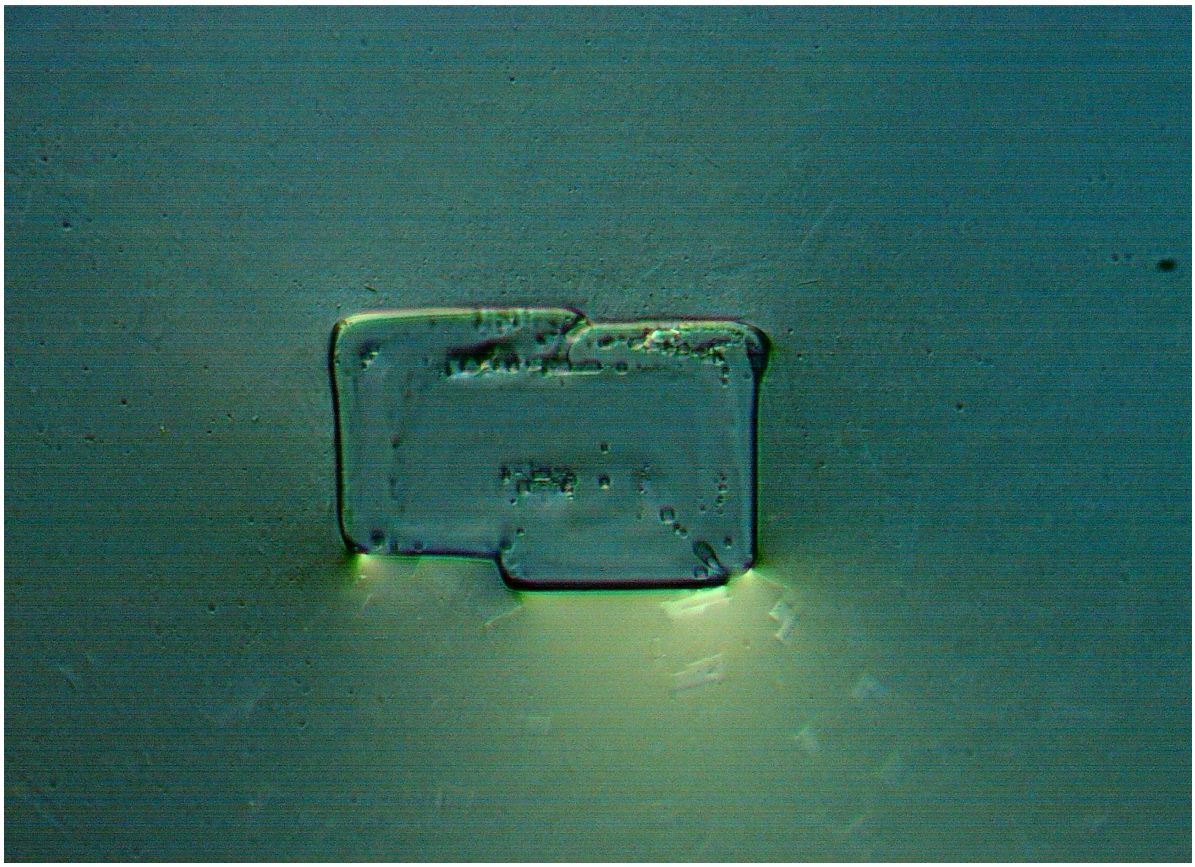

Fotografía 42

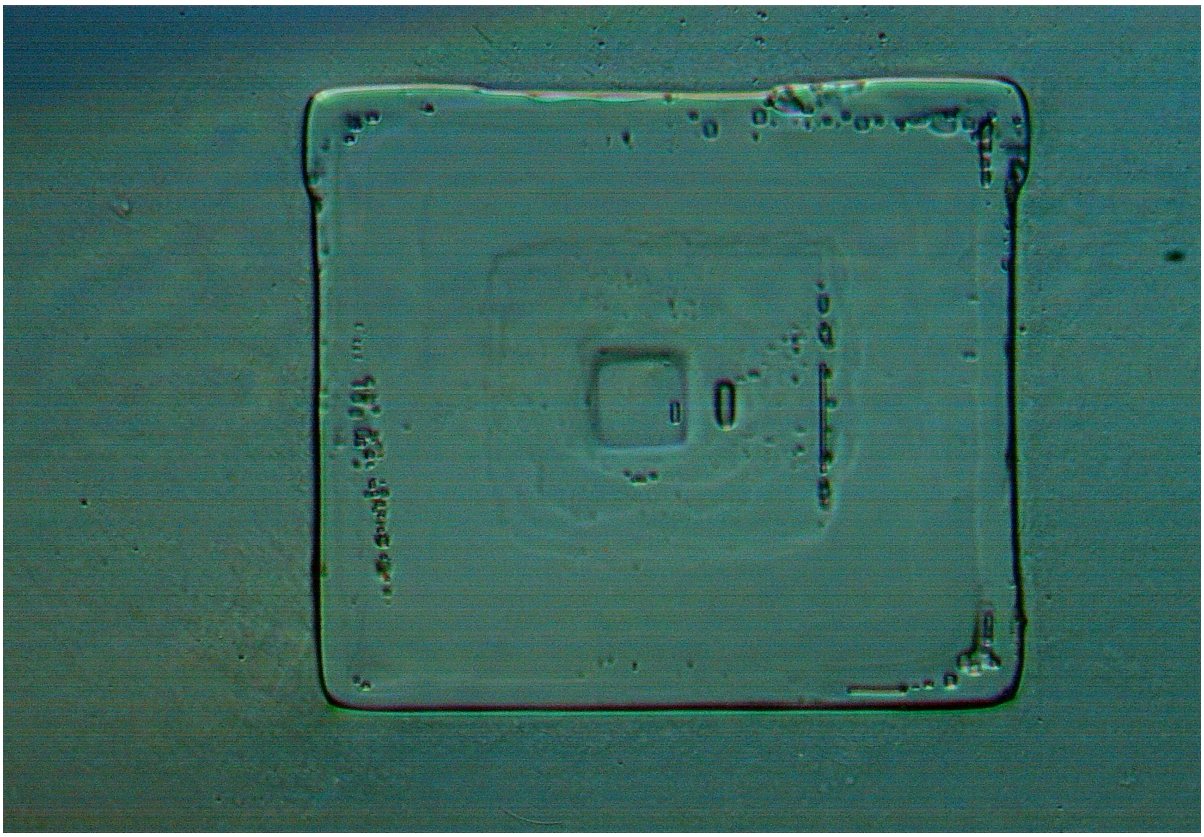

Fotografia 43

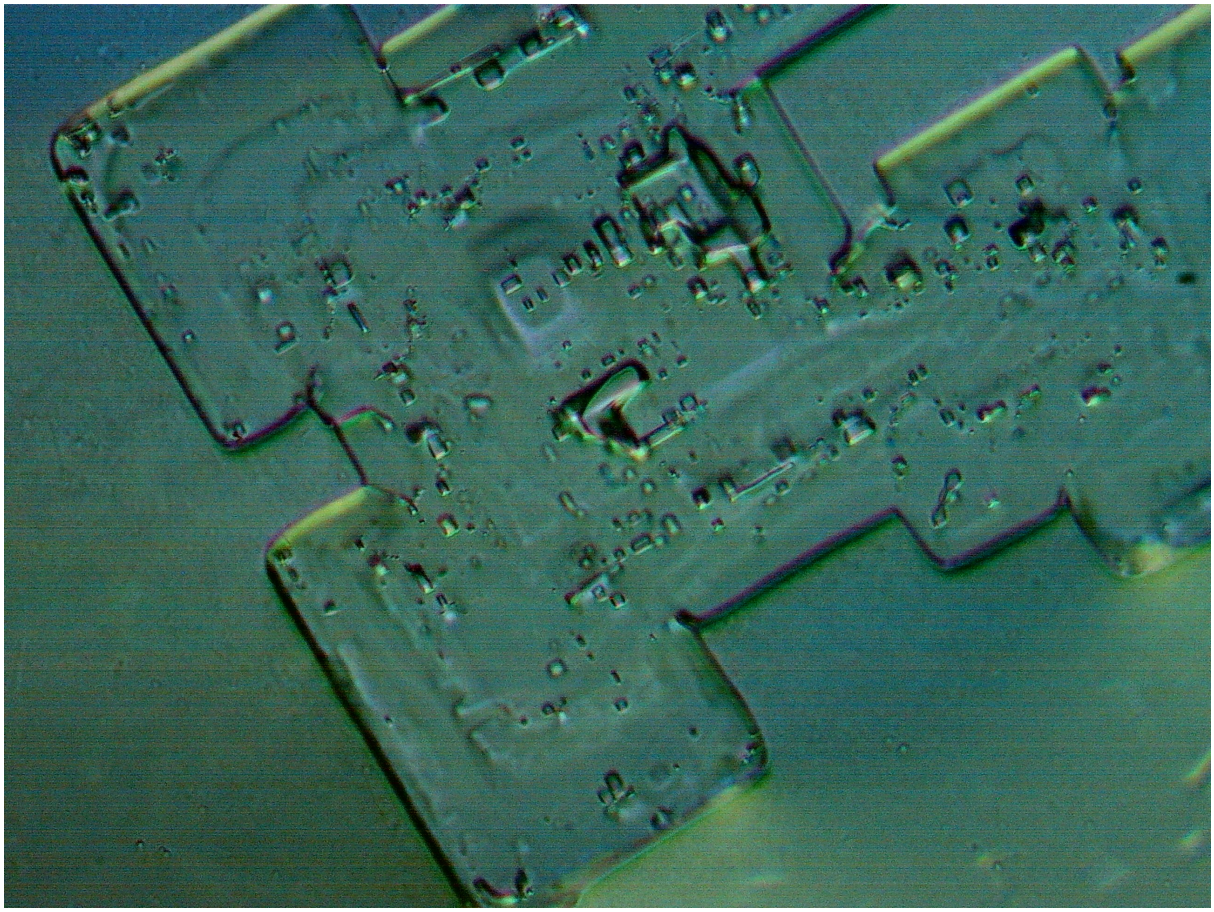

Fotografia 44

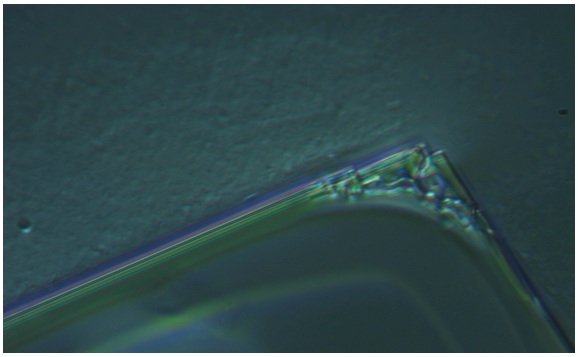

Fotografía 45

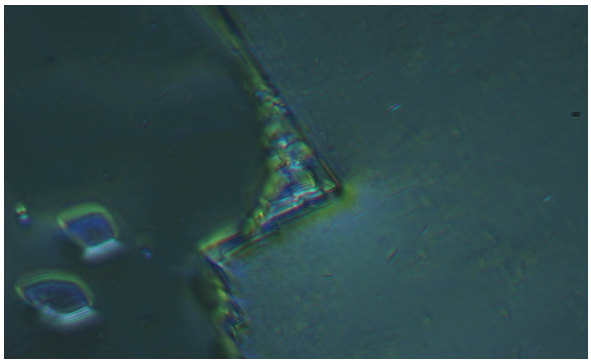

Fotografía 46

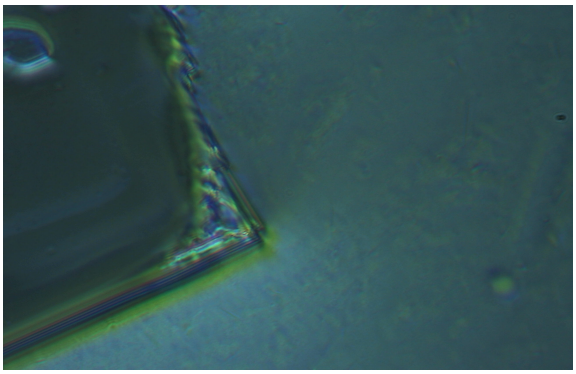

Fotografía 47

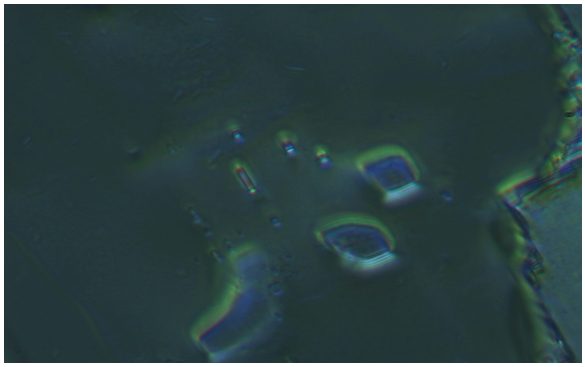

Fotografía 48

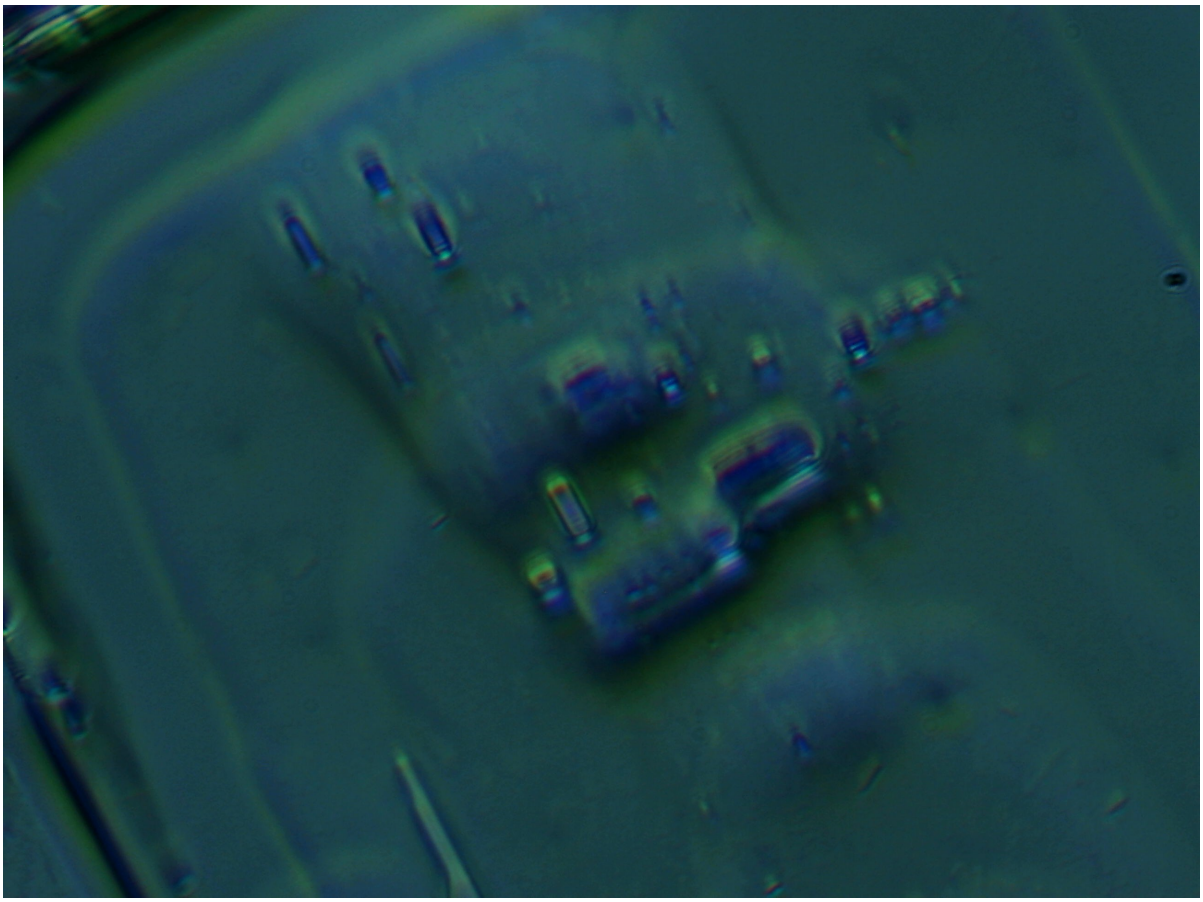

Fotografía 49

PATRONES ARTIFICIALES OBSERVADOS EN LA MUESTRA DE LA VACUNA PFIZER Y COMPARATIVA DE LAS IMÁGENES OBTENIDAS CON LA LITERATURA CIENTÍFICA

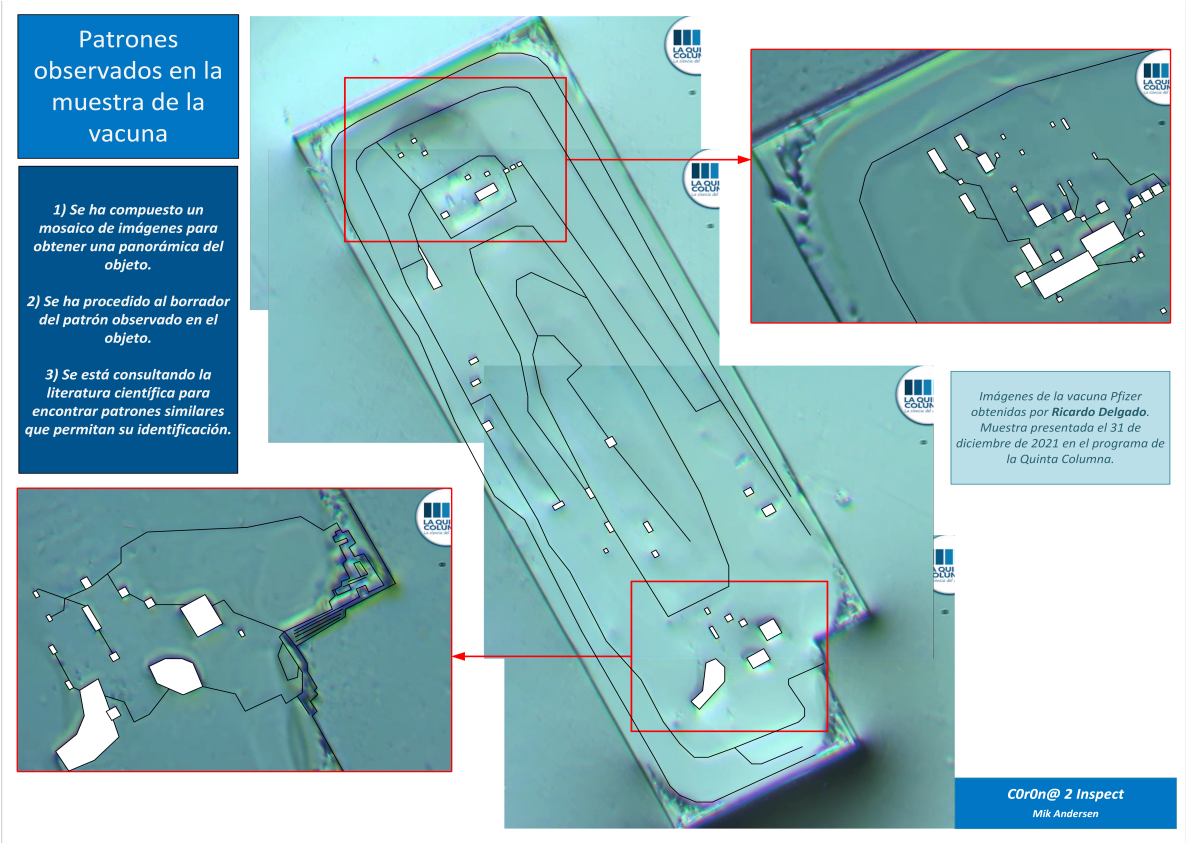

Fuente: blob:https://web.telegram.org/35614f58-dc02-4b84-9cda-1ad412404faf

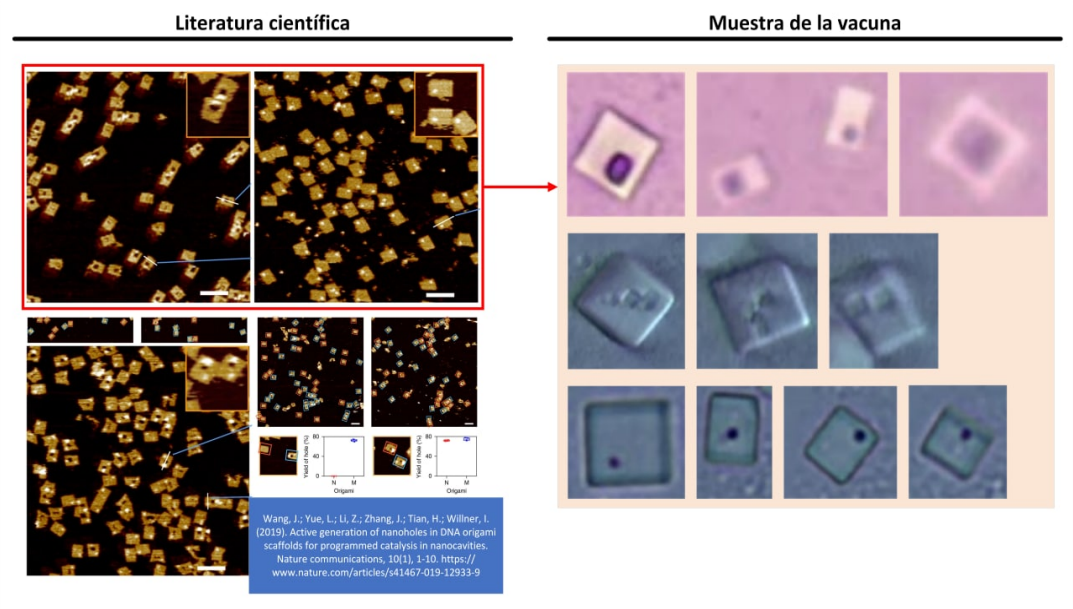

(Campra, P. 2.021 y R. Delgado 2.022)

Literatura científica *(R. Delgado 2.022)*

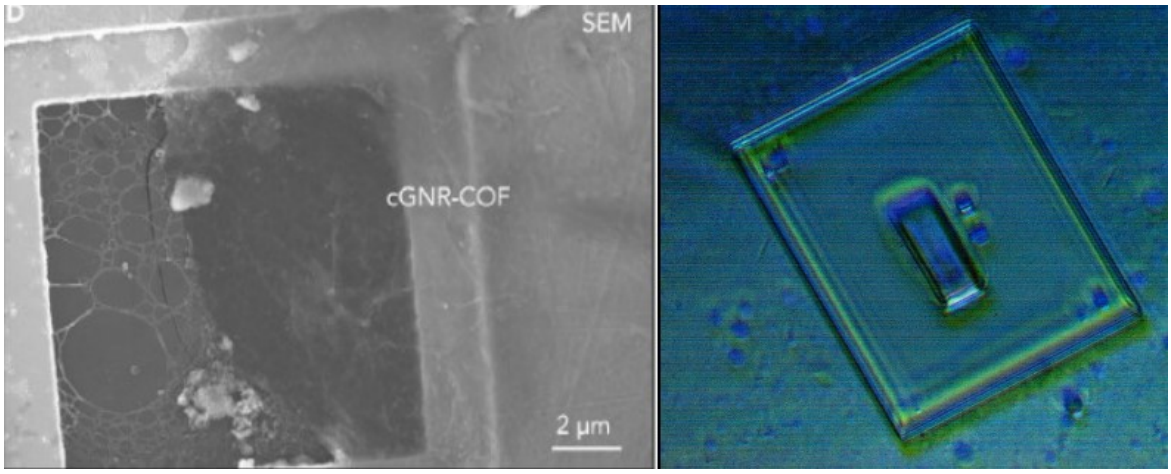

Literatura científica *(R. Delgado 2.022)*

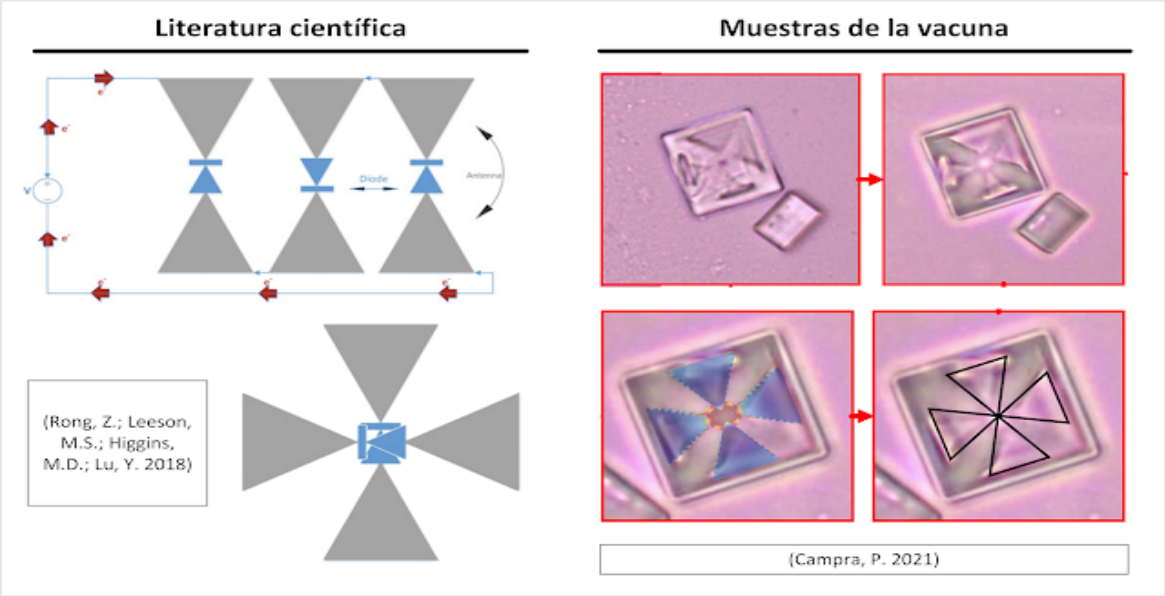

CONCLUSIONS FINALES

Sur la base de la présente enquête et du rapport sur ce qui a été observé dans les échantillons, les conclusions suivantes peuvent être tirées :

Le graphène présent dans les flacons est destiné à amplifier les signaux micro-ondes de la gamme actuelle des GHz provenant des antennes de téléphonie mobile à l'échelle du THz, ce qui permettra le bon fonctionnement de toutes les microtechnologies rapportées dans la littérature scientifique et très probablement observables dans les échantillons analysés dans ce rapport.

Voir l'étude, de 2017, intitulée "Energy Efficient Wireless Nano Sensor Network MAC Protocol for Communications in the Terahertz Band". [253]

Cela explique le fait que la plupart des personnes "vaccinées" avec cette technologie, outre le graphène introduit dans les flacons pour l'alimenter électroniquement, émettent des adresses MAC qui sont enregistrées dans la technologie sans fil Bluetooth, comme chacun peut le vérifier aujourd'hui, sans qu'aucune autorité ne se prononce sur le sujet ni qu'aucun "média" officiel ne le mentionne.

Certaines des nombreuses publications scientifiques sur l'utilisation des protocoles MAC pour les micro-réseaux utilisant le graphène peuvent être consultées ici :

Voir l'étude, de 2016, intitulée "MAC protocols for Wireless Nano-sensor Networks: Performance analysis and design guidelines". [254]

Voir l'étude, de 2011, intitulée "Directional MAC approach for wireless body area networks". [255]

Voir l'étude, de 2011, intitulée "A very low power MAC (VLPM) protocol for Wireless Body Area Networks". [256]

Il est très remarquable que, selon la société Pfizer elle-même, nous parlons de la composition de nanoparticules lipidiques et que, par conséquent, d'un point de vue microscopique, nous ne devrions rien observer.

Cependant, la grande galerie de microphotographies, enregistrées dans ce rapport, montre qu'il existe une multitude de particules de taille microscopique qui sont clairement visibles de ce point de vue.

La composition supposée des flacons analysés sous le nom commercial “Comirnaty mRNA COVID19” publiée par l'Agence européenne des médicaments, la société pharmaceutique elle-même et d'autres agences de “contrôle” réglementaires ne coïncide pas avec ce qui est indiqué dans ce rapport.

BIBLIOGRAFÍA CONSULTADA

"Radio-frequency characteristics of graphene oxide". https://aip.scitation.org/doi/10.1063/1.3506468
Whan Kyun Kim,Young Mo Jung,Ji Yoong Kang,Ju Yeong Oh,Hosung Kang,Hee-Jo Lee,Jae Hun Kim,Seok Lee, H. J. Shin,J. Y. Choi,S. Y. Lee,Y. C. Kim,I. T. Han,J. M. Kim,Jong-Gwan Yook,Seunghyun Baik, and Seong Chan Jun (2.010)

"Analysis of Graphene Antenna Properties for 5G Applications".
https://www.researchgate.net/publication/337093683_Analysis_of_Graphene_Antenna_Properties_for_5G_Applications
Siti Nor Hafizah Sa'don, Mohd haizal Jamaluddin, Muhammad Ramlee Kamarudin, Fauzan Ahmad (Noviembre 2.019)

"Material advancement in technological development for the 5G wireless communications".
***https://www.degruyter.com/document/doi/10.1515/ntrev-2020-0054/html**. Huali Hao,David Hui and Denvid Lau (2.020)*

"La visión de la nanotecnología para las radiocomunicaciones en los próximos años. Una perspectiva desde la academia".
https://www.researchgate.net/publication/323196338_La_vision_de_la_nanotecnologia_para_las_radiocomunicaciones_en_los_proximos_anos_Una_perspectiva_desde_la_academia. Andrés García y Leonardo Betancur (Junio 2.017)

"CRISPR-Cas9 Activated Graphene Biointerfaces for Capture and Real-Time Monitoring of Cell-Free DNA on a Microneedle Patch". https://www.researchgate.net/publication/351605243_CRISPR-Cas9_Activated_Graphene_Biointerfaces_for_Capture_and_Real-Time_Monitoring_of_Cell-Free_DNA_on_a_Microneedle_Patch. Jilie kong (Abril 2.021)

"Design of Wireless Nanosensor Networks for Intrabody Application".
https://www.researchgate.net/publication/282476793_Design_of_Wireless_Nanosensor_Networks_for_Intrabody_Application. Suk Jin Lee y Changyong (Andrew) Jung (Julio 2.015)

"DNA-assembled advanced plasmonic architectures". https://www.ncbi.nlm.nih.gov/labs/pmc/articles/PMC6546600/
Na Liu y Tim Liedl (Enero 2.018)

"Electromagnetic wireless nanosensor networks". https://www.sciencedirect.com/science/article/abs/pii/S1878778910000050
Ian F. Akyildiz and Josep MiquelJornet (Marzo 2.010)

"Recent Progress in Radio-Frequency Sensing Platforms with Graphene/Graphene Oxide for Wireless Health Care System". https://www.researchgate.net/publication/349912462_Recent_Progress_in_Radio-Frequency_Sensing_Platforms_with_GrapheneGraphene_Oxide_for_Wireless_Health_Care_System. Hee-Jo Lee (Marzo 2.021)

"Synthesis and Toxicity of Graphene Oxide Nanoparticles: A Literature Review of In Vitro and In Vivo Studies".
https://www.hindawi.com/journals/bmri/2021/5518999/. Asmaa Rhazouani, Halima Gamrani, Mounir El Achaby, Khalid Aziz, Lhoucine Gebrati, Md Sahab Uddin and Faissal AZIZ (2.021)